



江苏师范大学 电气工程及其自动化学院
JIANGSU NORMAL UNIVERSITY SCHOOL OF ELECTRICAL ENGINEERING & AUTOMATION



信号与系统

第4章 周期信号的频域分析

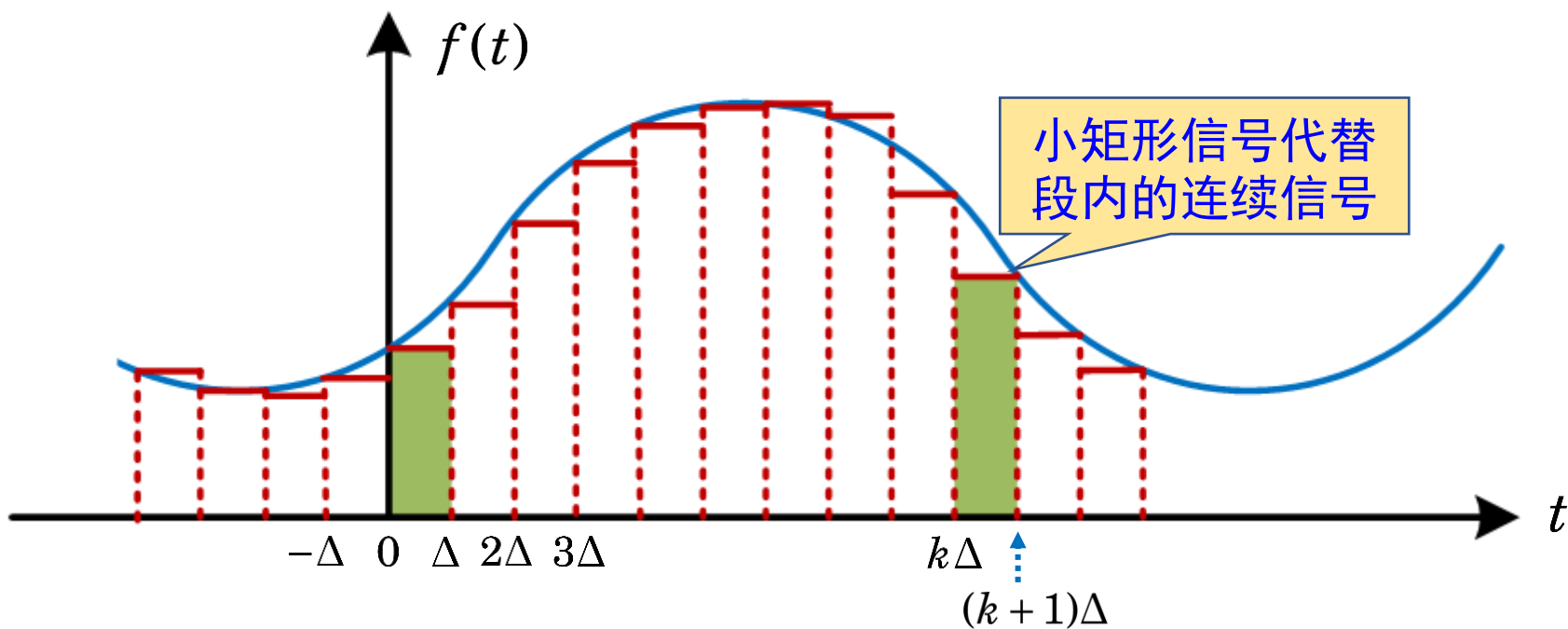
李灿

| 12#503A

| lic@jsnu.edu.cn

| <https://sslic.cn/ss>



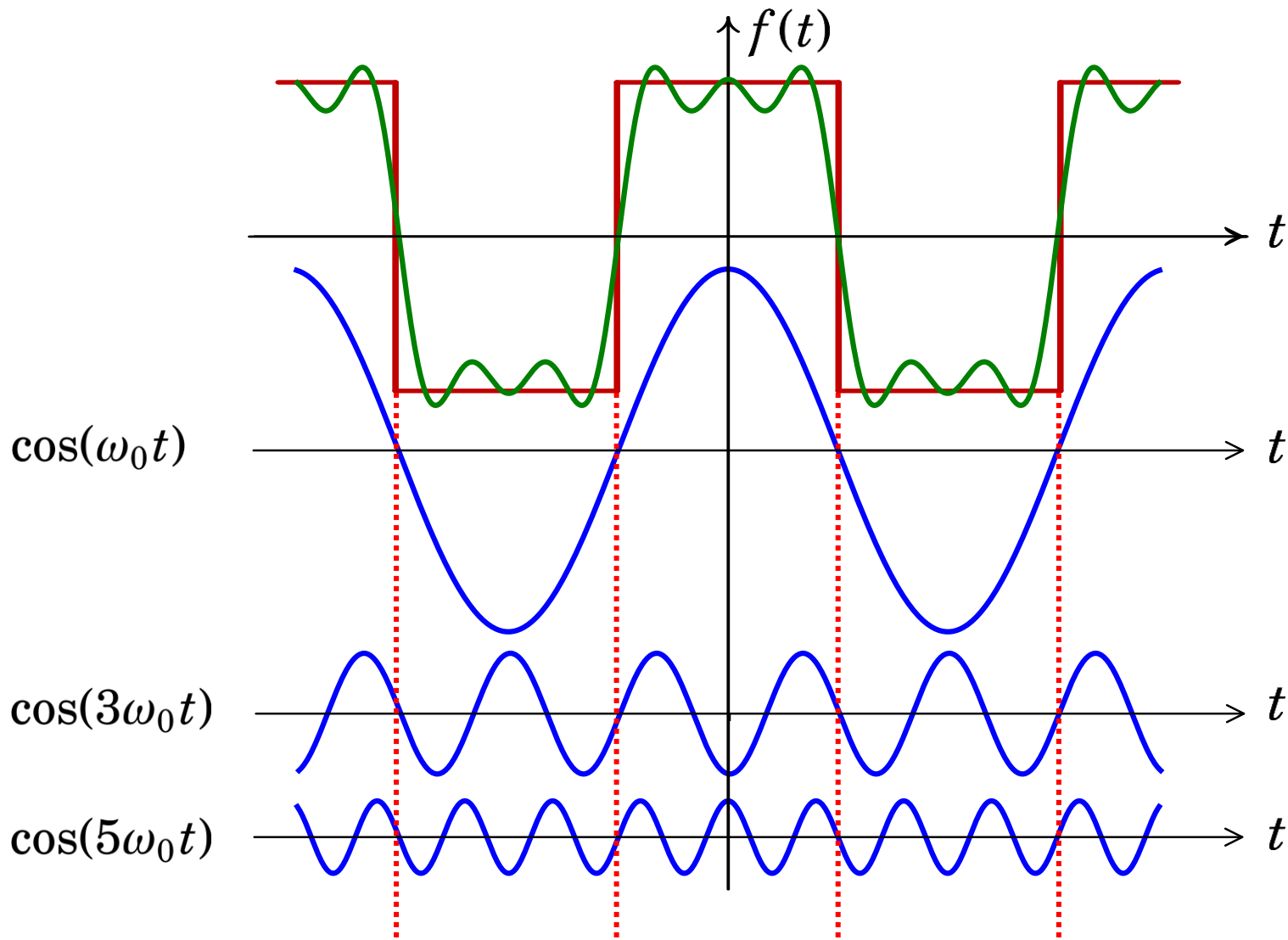


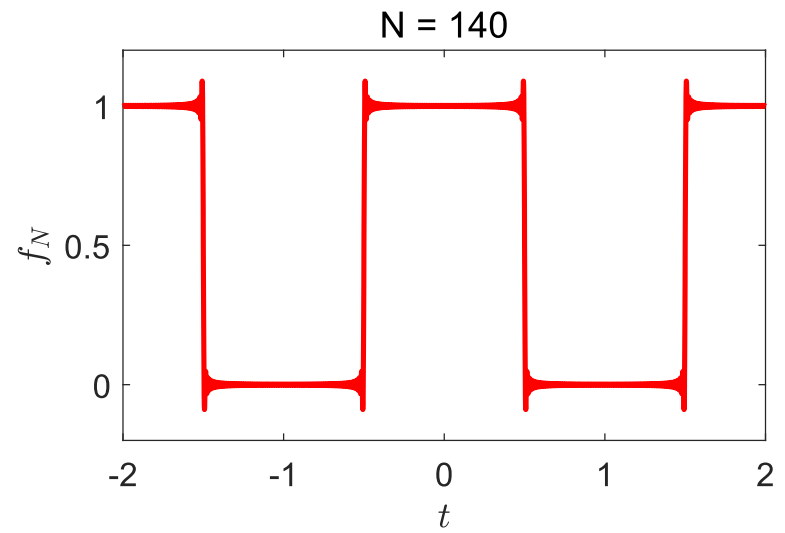
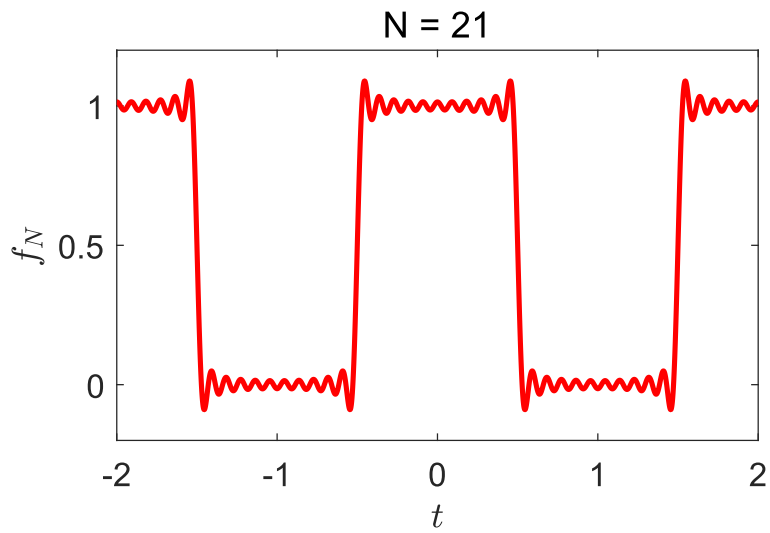
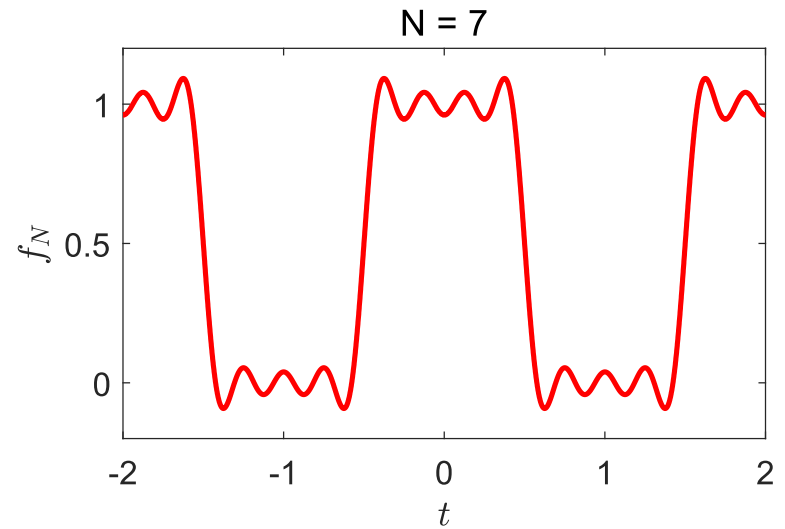
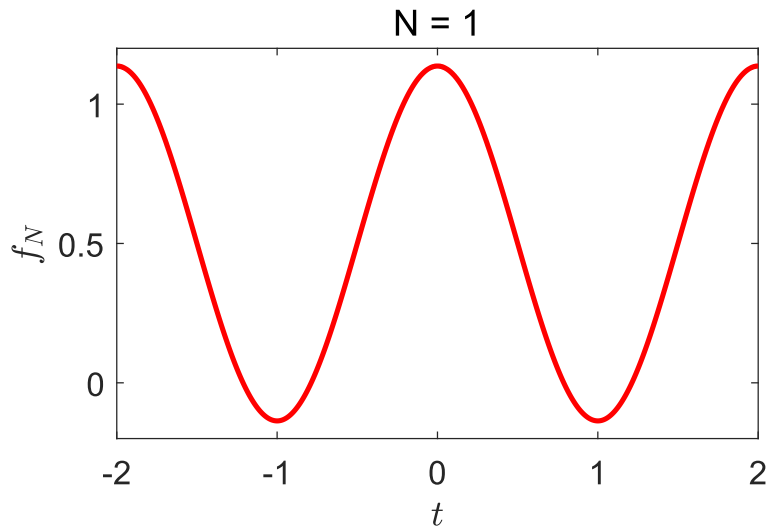
信号的时域分解

单位冲激信号的线性组合

基底: $\delta(t - k\Delta)$

$$f(t) = \lim_{\Delta \rightarrow 0} \sum_{k=-\infty}^{\infty} f(k\Delta) \delta(t - k\Delta) \cdot \Delta$$







信号的时域分解 单位冲激信号的线性组合

基底: $\delta(t - k\Delta)$

$$f(t) = \lim_{\Delta \rightarrow 0} \sum_{k=-\infty}^{\infty} f(k\Delta) \delta(t - k\Delta) \cdot \Delta$$

周期信号的频域分解 正弦类信号的线性组合

基底: $e^{jn\omega_0 t}$

Fourier系数
频谱、复振幅

$$f(t) = \sum_{n=-\infty}^{\infty} C_n e^{jn\omega_0 t}$$

Fourier
Lagrange
Dirichlet

- 分离不同频率信号分量, 信号处理, 如滤波器
- 其他逼近技术: 神经网络、模糊逻辑等



本章主要内容

- 连续时间信号的**Fourier级数**
- 连续时间**Fourier级数**的**基本性质**
- 连续周期信号的**频谱分析**



§4.1 连续时间信号的Fourier级数

1. 指数形式的Fourier级数
2. 三角形式的Fourier级数
3. Fourier级数的收敛条件
4. 信号对称性和Fourier级数的关系



4.1-1 指数形式的Fourier级数

□ **周期信号**：定义于区间 $(-\infty, \infty)$ 区间，每隔一定的时间 T_0 ，按相同规律变化的信号

$$\exists T_0 > 0 \Rightarrow f(t + T_0) = f(t), t \in \mathbb{R}$$

- 基波周期：最小的 T_0
- 基波频率： $f_0 = 1/T_0$
- 基波角频率： $\omega_0 = 2\pi/T_0$

□ **虚指数信号**： $e_1(t) = e^{j\omega_0 t}$ $\xrightarrow[n = \pm 1, \pm 2, \dots]{n \text{ 倍}}$

- 基波角频率： ω_0
- 基波周期： $T_0 = 2\pi/\omega_0$
- 基波频率： $f_0 = 1/T_0$

$$e_n(t) = e^{jn\omega_0 t}$$

- **n**次谐波角频率： $n\omega_0$
- **n**次谐波周期： T_0/n
- **n**次谐波频率： nf_0



4.1-1 指数形式的Fourier级数


□ 周期信号的**Fourier级数**：由 $e_n(t)$ 的**线性组合**表示式

$$f(t) = \sum_{n=-\infty}^{\infty} C_n e^{jn\omega_0 t}$$

- $n = 0$: 直流分量
- $n = \pm 1$: 1次谐波分量 (基波分量)
- $n = \pm 2$: 2次谐波分量
- $n = \pm N$: N次谐波分量

□ **Fourier系数**计算公式：

$$C_n = \frac{1}{T_0} \int_{\langle T_0 \rangle} f(t) e^{-jn\omega_0 t} dt$$



如何证明



4.1-1 指数形式的Fourier级数

□ Fourier系数计算公式的证明：

第1步：信号集 $\{e_n(t)\}$ 具有正交性，即先证

$$\int_0^{T_0} e_n(t)e_k^*(t)dt = T_0\delta[n-k] = \begin{cases} 0, & n \neq k \\ T_0, & n = k \end{cases}$$

左式 $n \neq k$

$$= \int_0^{T_0} e^{j(n-k)\omega_0 t} dt$$

$$= 0$$

虚指数信号在一个周期内积分

$$e_n(t) = e^{jn\omega_0 t}$$

$$e_k^*(t) = e^{-jk\omega_0 t}$$

左式 $n = k$

$$= \int_0^{T_0} e^{j(n-k)\omega_0 t} dt = \int_0^{T_0} 1 dt = T_0$$



4.1-1 指数形式的Fourier级数

□ Fourier系数计算公式的证明:

第2步: 利用正交性证明Fourier系数

$$f(t) = \sum_{n=-\infty}^{\infty} C_n e^{jn\omega_0 t}$$

$$f(t)e^{-jk\omega_0 t} = \sum_{n=-\infty}^{\infty} C_n e^{j(n-k)\omega_0 t}$$

$$\int_0^{T_0} f(t)e^{-jk\omega_0 t} dt = \int_0^{T_0} \sum_{n=-\infty}^{\infty} C_n e^{j(n-k)\omega_0 t} dt$$

$$= \sum_{n=-\infty}^{\infty} C_n \int_0^{T_0} e^{j(n-k)\omega_0 t} dt$$



4.1-1 指数形式的Fourier级数

三角形形式
Fourier
级数呢

□ Fourier系数计算公式的证明:

第2步: 利用正交性证明Fourier系数

正交性

$$\int_0^{T_0} f(t)e^{-jk\omega_0 t} dt = \sum_{n=-\infty}^{\infty} C_n \int_0^{T_0} e^{j(n-k)\omega_0 t} dt$$

$$k = n \downarrow = \sum_{n=-\infty}^{\infty} C_n T_0 \delta[n - k]$$

$$\int_0^{T_0} f(t)e^{-jn\omega_0 t} dt = C_n T_0$$

$$C_n = \frac{1}{T_0} \int_0^{T_0} f(t)e^{-jn\omega_0 t} dt$$



4.1-2 三角形式的Fourier级数

□ Fourier系数的共轭对称性： $f(t)$ 为实信号，则

$$C_n = C_{-n}^*$$

证明：

$$C_n = \frac{1}{T_0} \int_{\langle T_0 \rangle} f(t) e^{-jn\omega_0 t} dt$$

$$C_{-n} = \frac{1}{T_0} \int_{\langle T_0 \rangle} f(t) e^{jn\omega_0 t} dt$$

$$\begin{aligned} C_{-n}^* &= \frac{1}{T_0} \int_{\langle T_0 \rangle} f(t) e^{-jn\omega_0 t} dt \\ &= C_n \end{aligned}$$



4.1-2 三角形式的Fourier级数

$$f(t) = \sum_{n=-\infty}^{\infty} C_n e^{jn\omega_0 t}$$

指数形式Fourier级数

$$= C_0 + \sum_{n=-\infty}^{-1} C_n e^{jn\omega_0 t} + \sum_{n=1}^{\infty} C_n e^{jn\omega_0 t}$$

$$= C_0 + \sum_{n=1}^{\infty} (C_{-n} e^{-jn\omega_0 t} + C_n e^{jn\omega_0 t})$$

$$= C_0 + \sum_{n=1}^{\infty} ((C_n e^{jn\omega_0 t})^* + C_n e^{jn\omega_0 t})$$

$$= C_0 + 2 \sum_{n=1}^{\infty} \text{Re}(C_n e^{jn\omega_0 t})$$

共轭对称性

$$C_n = C_{-n}^*$$

$$C_n^* = C_{-n}$$

$$= C_{-n} e^{-jn\omega_0 t}$$

$$= C_n^* e^{-jn\omega_0 t}$$

$$= (C_n e^{jn\omega_0 t})^*$$



4.1-2 三角形式的Fourier级数

$$\begin{aligned}
 f(t) &= C_0 + 2 \sum_{n=1}^{\infty} \operatorname{Re}(C_n e^{jn\omega_0 t}) \\
 &= \frac{a_0}{2} + \sum_{n=1}^{\infty} \operatorname{Re}((a_n - jb_n) e^{jn\omega_0 t}) \\
 &= \frac{a_0}{2} + \sum_{n=1}^{\infty} a_n \cos(n\omega_0 t) \\
 &\quad + \sum_{n=1}^{\infty} b_n \sin(n\omega_0 t)
 \end{aligned}$$

$$\text{令 } C_0 = \frac{a_0}{2} \quad C_n = \frac{1}{2}a_n - \frac{1}{2}jb_n$$

$$\begin{aligned}
 C_n &= \frac{1}{T_0} \int_{\langle T_0 \rangle} f(t) e^{-jn\omega_0 t} dt \\
 &= \frac{1}{T_0} \int_{\langle T_0 \rangle} f(t) \cos(n\omega_0 t) dt \\
 &\quad - \frac{1}{T_0} \int_{\langle T_0 \rangle} f(t) j \sin(n\omega_0 t) dt
 \end{aligned}$$



4.1-2 三角形式的Fourier级数

$$f(t) = \frac{a_0}{2} + \sum_{n=1}^{\infty} a_n \cos(n\omega_0 t) + \sum_{n=1}^{\infty} b_n \sin(n\omega_0 t)$$

$$C_n = \frac{1}{2}a_n - \frac{1}{2}jb_n$$

$$a_n = \frac{2}{T_0} \int_{\langle T_0 \rangle} f(t) \cos(n\omega_0 t) dt$$

$$b_n = \frac{2}{T_0} \int_{\langle T_0 \rangle} f(t) \sin(n\omega_0 t) dt$$

$$a_0 = \frac{2}{T_0} \int_{\langle T_0 \rangle} f(t) dt$$

$$\begin{aligned} C_n &= \frac{1}{T_0} \int_{\langle T_0 \rangle} f(t) e^{-jn\omega_0 t} dt \\ &= \frac{1}{T_0} \int_{\langle T_0 \rangle} f(t) \cos(n\omega_0 t) dt - \frac{1}{T_0} \int_{\langle T_0 \rangle} f(t) j \sin(n\omega_0 t) dt \\ &= \frac{1}{2}a_n - \frac{1}{2}jb_n \end{aligned}$$



4.1-2 三角形式的Fourier级数

□ 三角形式Fourier级数：

$$f(t) = \frac{a_0}{2} + \sum_{n=1}^{\infty} a_n \cos(n\omega_0 t) + \sum_{n=1}^{\infty} b_n \sin(n\omega_0 t)$$

$$a_n = \frac{2}{T_0} \int_{\langle T_0 \rangle} f(t) \cos(n\omega_0 t) dt \quad b_n = \frac{2}{T_0} \int_{\langle T_0 \rangle} f(t) \sin(n\omega_0 t) dt$$

含 0

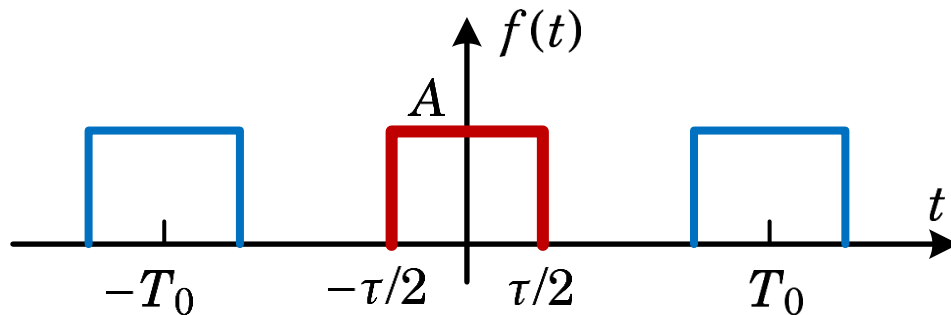
□ Fourier级数转换：指数形式 \longrightarrow 三角形式

$$f(t) = C_0 + 2 \sum_{n=1}^{\infty} \operatorname{Re}(C_n e^{jn\omega_0 t})$$

欧拉公式



【例】求图示矩形脉冲信号的Fourier级数展开表示式



解：指数形式Fourier级数

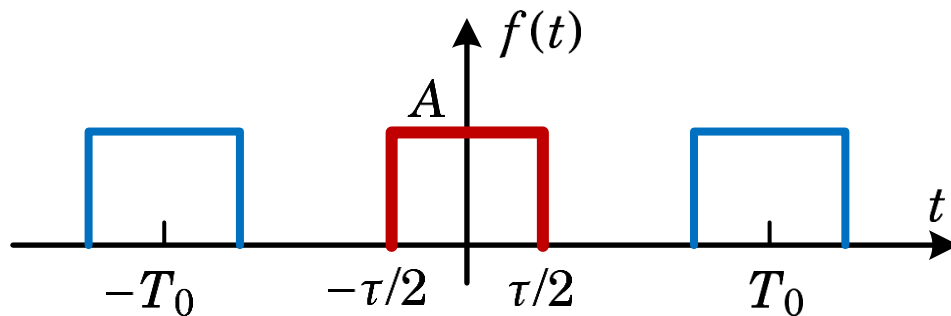
$$f(t) = \sum_{n=-\infty}^{\infty} C_n e^{jn\omega_0 t}$$

$$C_n = \frac{1}{T_0} \int_{-T_0/2}^{T_0/2} f(t) e^{-jn\omega_0 t} dt$$

$$= \frac{1}{T_0} \int_{-\tau/2}^{\tau/2} A e^{-jn\omega_0 t} dt$$

$$= \frac{\tau A \sin(n\omega_0 \tau/2)}{T_0 n \omega_0 \tau/2} = \frac{\tau A}{T_0} \text{Sa}(n\omega_0 \tau/2)$$

【例】求图示矩形脉冲信号的Fourier级数展开表示式



解：进一步求三角形Fourier级数

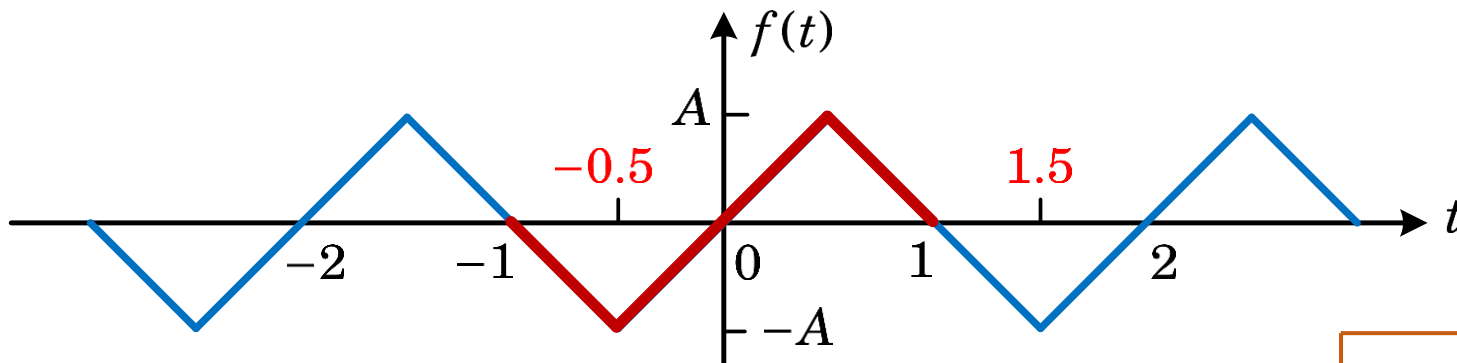
$$C_n = \frac{\tau A}{T_0} \text{Sa}(n\omega_0\tau/2) \quad \text{实函数}$$

$$f(t) = C_0 + 2 \sum_{n=1}^{\infty} \text{Re}(C_n e^{jn\omega_0 t}) \quad \text{欧拉公式展开}$$

$$= \frac{\tau A}{T_0} + \frac{2\tau A}{T_0} \sum_{n=1}^{\infty} \text{Sa}(n\omega_0\tau/2) \cos(n\omega_0 t)$$



【例】求图示信号的三角形形式Fourier级数展开表示式



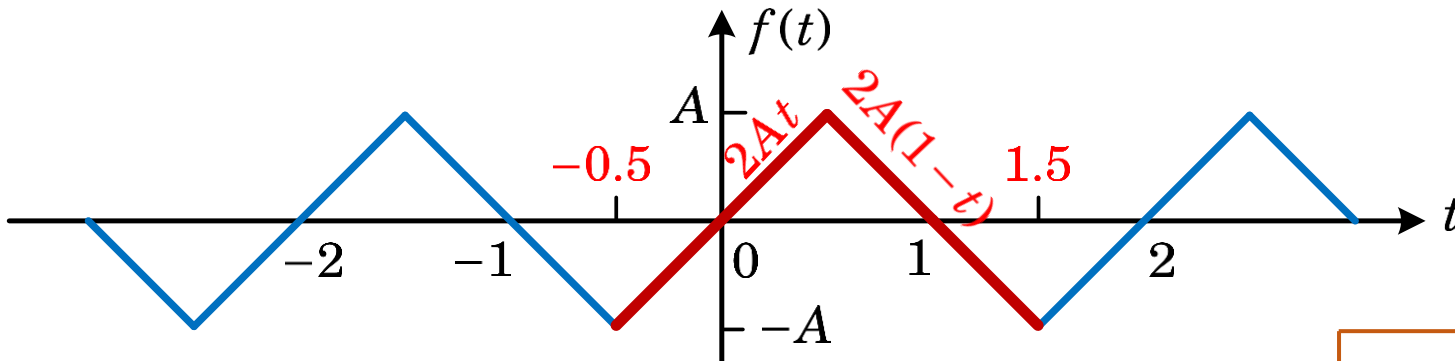
解:
$$a_n = \frac{2}{T_0} \int_{-1}^1 f(t) \cos(n\omega_0 t) dt = 0$$

$$T_0 = 2$$

$$\omega_0 = \pi$$



【例】求图示信号的三角形式Fourier级数展开表示式



$$T_0 = 2$$

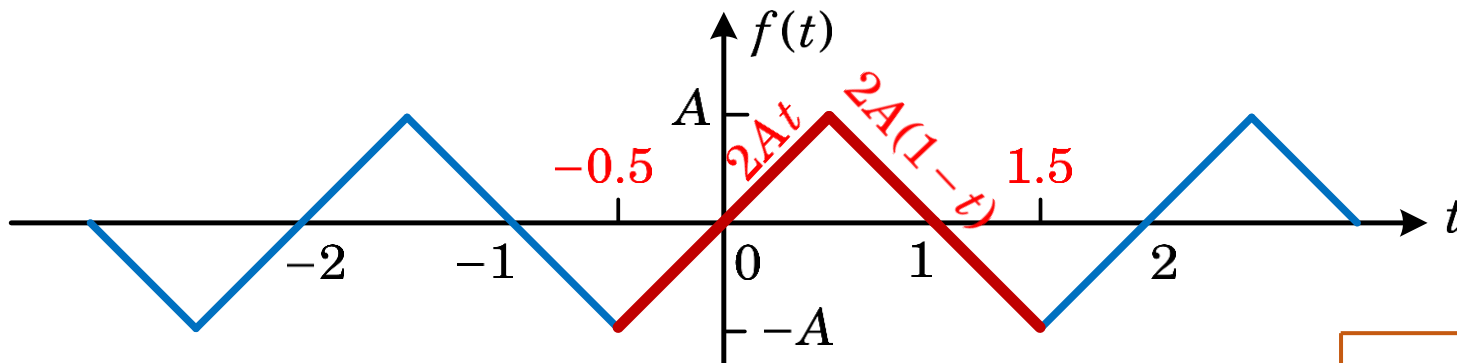
$$\omega_0 = \pi$$

解: $a_n = \frac{2}{T_0} \int_{-1}^1 f(t) \cos(n\omega_0 t) dt = 0$

$$b_n = \frac{2}{T_0} \int_{-0.5}^{1.5} f(t) \sin(n\omega_0 t) dt$$

$$= \frac{2}{T_0} \int_{-0.5}^{0.5} 2At \sin(n\omega_0 t) dt + \frac{2}{T_0} \int_{0.5}^{1.5} 2A(1-t) \sin(n\omega_0 t) dt$$

【例】求图示信号的三角形形式Fourier级数展开表示式



$$T_0 = 2$$

$$\omega_0 = \pi$$

解:
$$a_n = \frac{2}{T_0} \int_{-1}^1 f(t) \cos(n\omega_0 t) dt = 0$$

$$b_n = \frac{2}{T_0} \int_{-0.5}^{1.5} f(t) \sin(n\omega_0 t) dt = \frac{8A}{n^2 \pi^2} \sin\left(\frac{n\pi}{2}\right)$$

$$f(t) = \sum_{n=1}^{\infty} \frac{8A}{n^2 \pi^2} \sin\left(\frac{n\pi}{2}\right) \sin(n\pi t)$$



4.1-3 Fourier级数的收敛条件

□ Fourier系数部分和:

$$f_N(t) = \sum_{n=-N}^N C_n e^{jn\omega_0 t}$$

□ Fourier级数收敛:

$$\lim_{N \rightarrow \infty} |f(t) - f_N(t)| = 0$$

原信号不连续时，**Fourier级数在间断点处不收敛**，如矩形脉冲信号。

实际系统是对信号的能量作出响应



4.1-3 Fourier级数的收敛条件

□ Fourier系数部分和:

$$f_N(t) = \sum_{n=-N}^N C_n e^{jn\omega_0 t}$$

□ 能量意义下的收敛
均方误差

$$\lim_{N \rightarrow \infty} \int_0^{T_0} |f(t) - f_N(t)|^2 dt = 0$$

间断点处收敛于 $\frac{f(t^+) + f(t^-)}{2}$

□ Dirichlet条件

实际信号大多满足Dirichlet条件

- 信号 $f(t)$ 在周期内绝对可积: $\int_{\langle T_0 \rangle} |f(t)| dt < \infty$
- 信号 $f(t)$ 在周期内仅含有限个间断点, 且间断点处信号值有限
- 信号 $f(t)$ 在周期内仅含有限起伏, 即有限个极大值、极小值点



4.1-3 Fourier级数的收敛条件

□ Dirichlet条件的说明:

a) 保证Fourier系数存在 $C_n = \int_{\langle T_0 \rangle} f(t)e^{-jn\omega_0 t} dt$

$$f(t) = \frac{1}{t-k}, k < t \leq k+1, k = 0, \pm 1, \pm 2, \dots$$

$$T_0 = 1 \quad k = 0 \quad \int_0^1 \frac{1}{t} dt = -\ln 0 = \infty$$

b) 无穷多间断点, 间断点导致的误差积分(面积)不一定为0

c) 无穷起伏变化: 高频分量对应的Fourier系数衰减较慢

$$f(t) = \sin\left(\frac{2\pi}{t-k}\right), k < t \leq k+1, k = 0, \pm 1, \pm 2, \dots$$

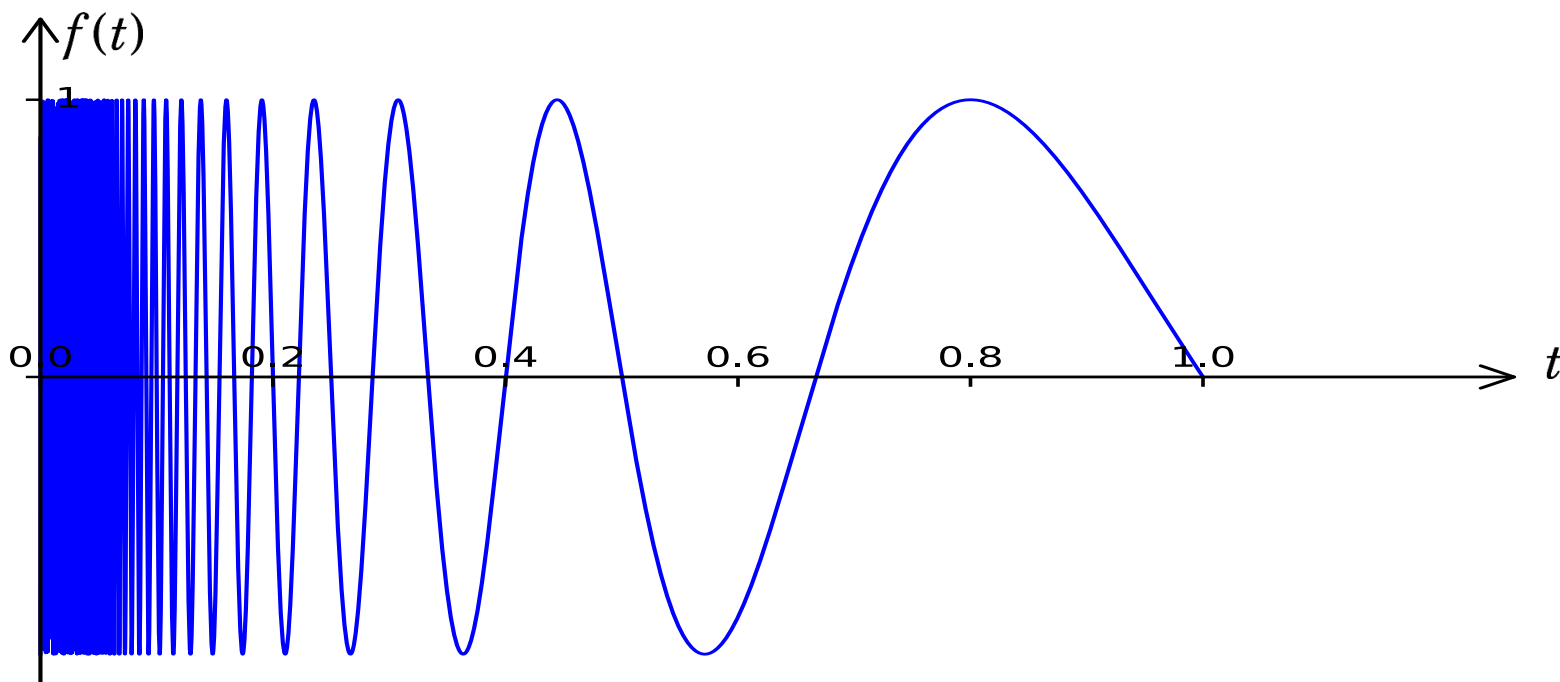


4.1-3 Fourier级数的收敛条件

□ Dirichlet条件的说明:

c) 无穷起伏变化: 高频分量对应的**Fourier**系数衰减较慢

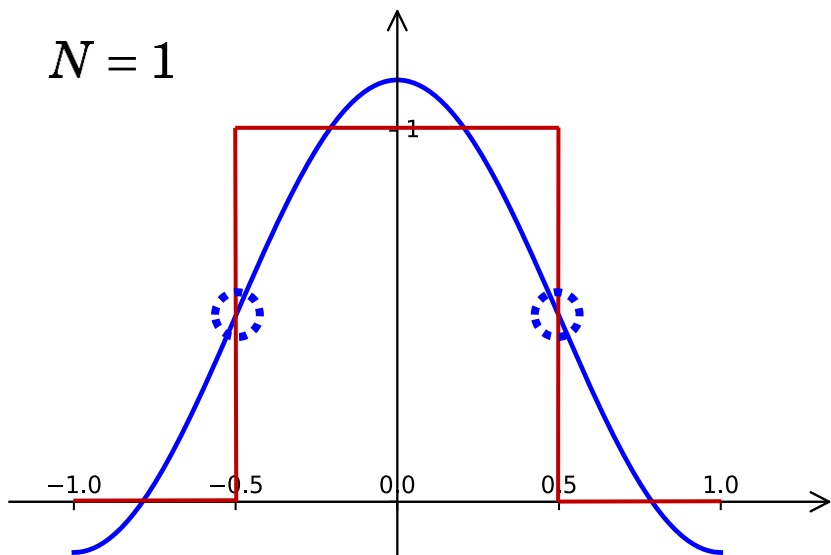
$$f(t) = \sin\left(\frac{2\pi}{t-k}\right), k < t \leq k+1, k = 0, \pm 1, \pm 2, \dots$$



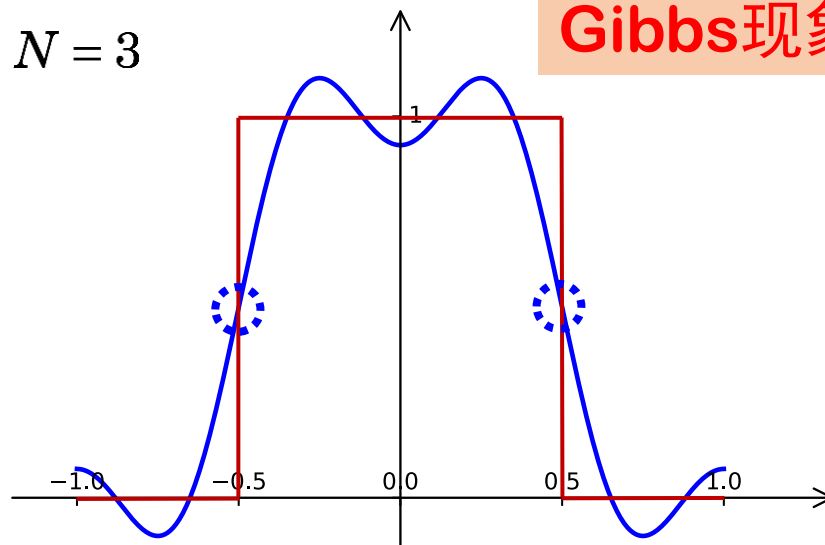


Gibbs现象

$N = 1$

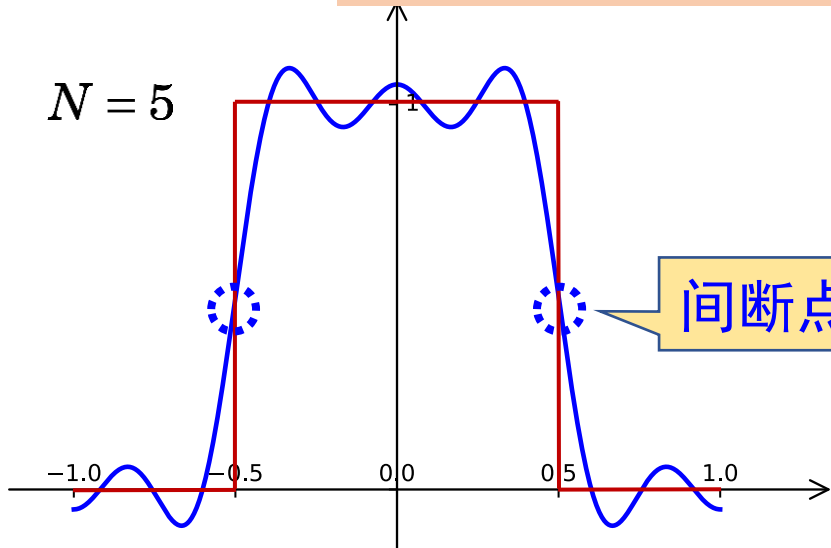


$N = 3$



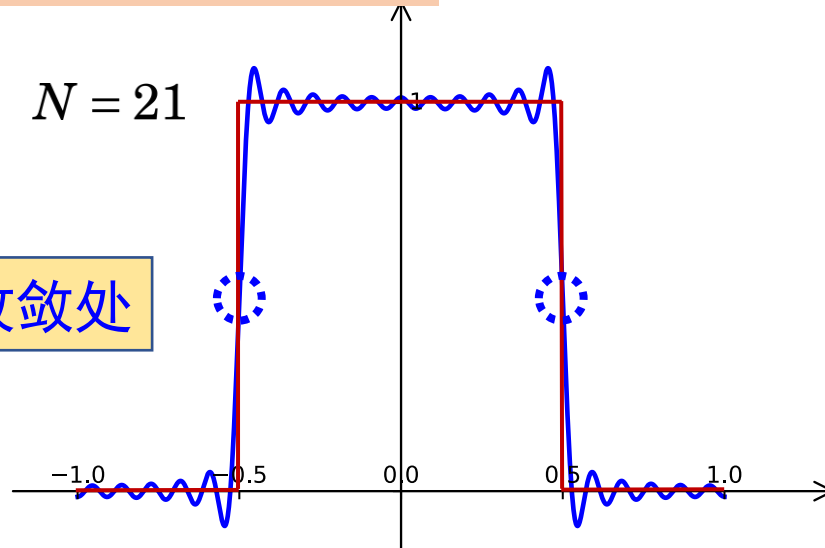
超调不变，误差形成的面积趋于零

$N = 5$



间断点收敛处

$N = 21$

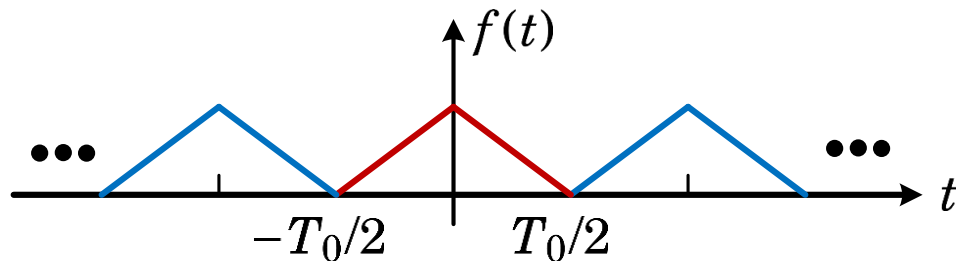




4.1-4 信号的对称性与Fourier系数的关系

□ 偶对称信号(纵轴对称信号)

$$f(t) = f(-t)$$



$$C_n = \frac{1}{T_0} \int_{-T_0/2}^{T_0/2} f(t) e^{-jn\omega_0 t} dt$$

$$= \frac{1}{T_0} \int_{-T_0/2}^{T_0/2} [f(t) \overset{\text{偶}}{\cos(n\omega_0 t)} - j f(t) \overset{\text{奇}}{\sin(n\omega_0 t)}] dt$$

$$= \frac{1}{2} a_n$$

$$f(t) = C_0 + 2 \sum_{n=1}^{\infty} \text{Re}(C_n e^{jn\omega_0 t})$$

$$f(t) = \frac{1}{2} a_0 + \sum_{n=1}^{\infty} a_n \cos(n\omega_0 t)$$

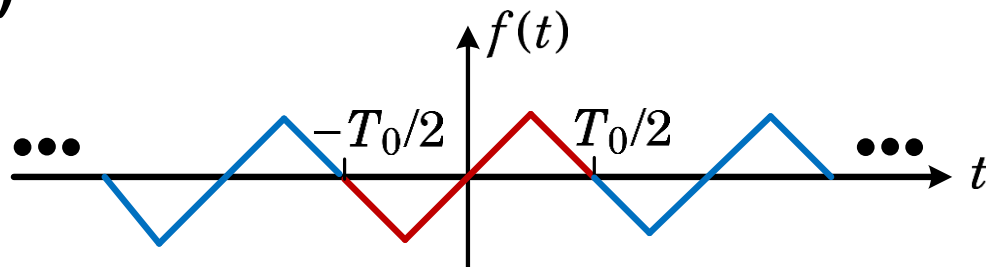
直流项+余弦项



4.1-4 信号的对称性与Fourier系数的关系

奇对称信号(原点对称信号)

$$f(t) = -f(-t)$$



$$C_n = \frac{1}{T_0} \int_{-T_0/2}^{T_0/2} f(t) e^{-jn\omega_0 t} dt$$

$$= \frac{1}{T_0} \int_{-T_0/2}^{T_0/2} [f(t) \overset{\text{奇}}{\cancel{\cos(n\omega_0 t)}} - j f(t) \overset{\text{偶}}{\sin(n\omega_0 t)}] dt$$

$$= -\frac{j}{2} b_n$$

$$f(t) = C_0 + 2 \sum_{n=1}^{\infty} \text{Re}(C_n e^{jn\omega_0 t})$$

$$f(t) = \sum_{n=1}^{\infty} b_n \sin(n\omega_0 t)$$

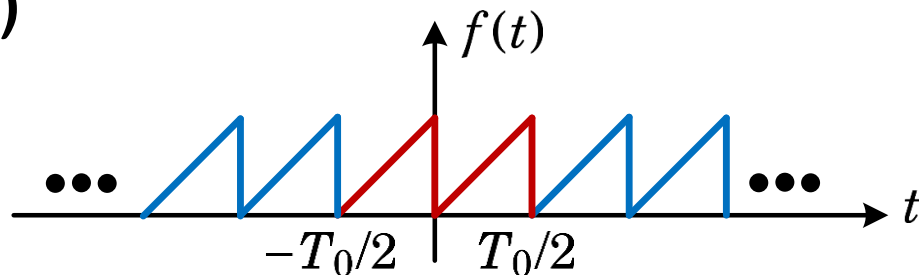
正弦项



4.1-4 信号的对称性与Fourier系数的关系

□ 半波重叠信号(半波也是周期)

$$f(t) = f(t \pm T_0/2)$$



$$T_1 = T_0/2, \quad \omega_1 = 2\pi/T_1 = 2\omega_0$$

$$\begin{aligned} C_n &= \frac{1}{T_1} \int_0^{T_1} f(t) e^{-jn\omega_1 t} dt \\ &= \frac{2}{T_0} \int_0^{T_0/2} f(t) e^{-j2n\omega_0 t} dt \end{aligned}$$

$$f(t) = \sum_{n=-\infty}^{\infty} C_n e^{jn\omega_1 t} = \sum_{n=-\infty}^{\infty} C_n e^{j2n\omega_0 t}$$

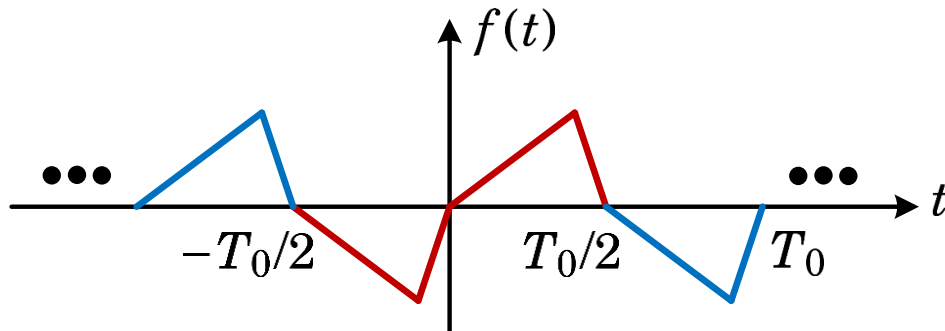
仅含偶次谐波分量



4.1-4 信号的对称性与Fourier系数的关系

□ 半波镜像信号

$$f(t) = -f(t \pm T_0/2)$$



$$f_1(t) = \begin{cases} f(t), & 0 \leq t < T_0/2 \\ 0, & T_0/2 \leq t \leq T_0 \end{cases}$$

$$f(t) = f_1(t) - f_1(t - T_0/2)$$

$$f_1(t) = \sum_{n=-\infty}^{\infty} C_n e^{jn\omega_0 t}$$

时移特性

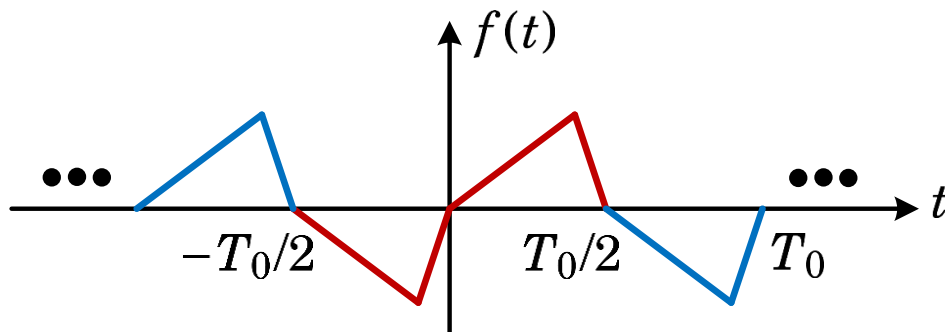
$$f_1(t - T_0/2) = \sum_{n=-\infty}^{\infty} C_n e^{-jn\pi} e^{jn\omega_0 t} = \sum_{n=-\infty}^{\infty} C_n (-1)^n e^{jn\omega_0 t}$$



4.1-4 信号的对称性与Fourier系数的关系

□ 半波镜像信号

$$f(t) = -f(t \pm T_0/2)$$



$$f_1(t) = \sum_{n=-\infty}^{\infty} C_n e^{jn\omega_0 t}$$

$$f_1(t - T_0/2) = \sum_{n=-\infty}^{\infty} C_n e^{-jn\pi} e^{jn\omega_0 t} = \sum_{n=-\infty}^{\infty} C_n (-1)^n e^{jn\omega_0 t}$$

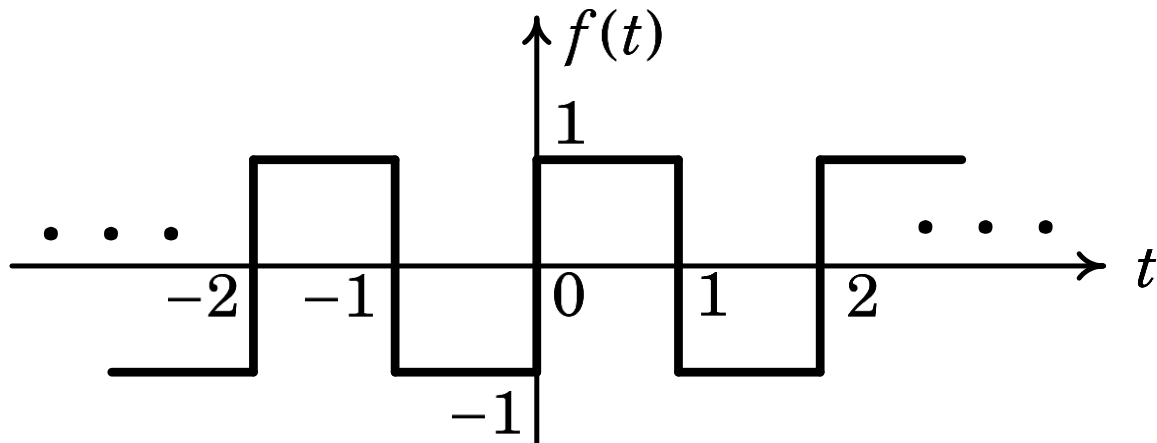
$$f(t) = f_1(t) - f_1(t - T_0/2) = 2 \sum_{\substack{n=-\infty \\ n \text{ 为奇}}}^{\infty} C_n e^{jn\omega_0 t}$$

仅含奇次谐波分量

$$C_n = \frac{1}{T_0} \int_0^{T_0} f_1(t) e^{-jn\omega_0 t} dt = \frac{1}{T_0} \int_0^{T_0/2} f(t) e^{-jn\omega_0 t} dt$$



【练习】求如下图所示周期信号的 Fourier 级数。





§4.2 连续周期信号的频谱分析

1. 频谱：幅度频谱、相位频谱
2. 有效带宽
3. 功率谱



4.2-1 周期信号的频谱

周期信号的Fourier级数表示

$$f(t) = \sum_{n=-\infty}^{\infty} C_n e^{jn\omega_0 t} \quad C_n = \frac{1}{T_0} \int_{\langle T_0 \rangle} f(t) e^{-jn\omega_0 t} dt$$

- 虚指数信号线性组合，虚指数信号的角频率是基波角频率的整数倍
- **Fourier**级数形式相同，不同的是**Fourier**系数
- **Fourier**系数反映信号中各次谐波的幅度值和相位值，所以称**Fourier**系数为信号的频谱

周期信号的频谱

$$C_n = |C_n| e^{j\varphi_n}$$

幅度谱

相位谱

$f(t)$ 实函数：

- 幅度谱偶对称
- 相位谱奇对称



4.2-1 周期信号的频谱

对于某个 n ，谐波表示为

$$C_n e^{jn\omega_0 t} = |C_n| e^{j\varphi_n} e^{jn\omega_0 t} = |C_n| e^{j(n\omega_0 t + \varphi_n)}$$

实信号 Fourier 系数共轭对称

$$C_n^* = C_{-n}$$

$$C_n = a + jb$$

$$C_{-n} = a - jb$$

$$|C_{-n}| = |C_n| = \sqrt{a^2 + b^2}$$

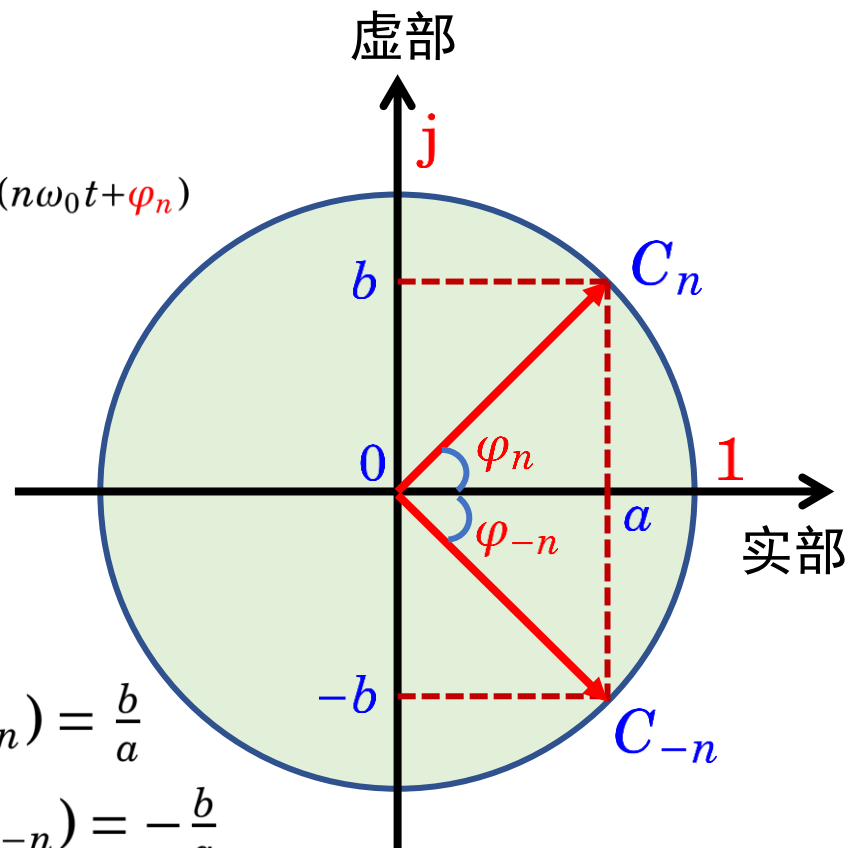
• 幅度谱偶对称

$$\tan(\varphi_n) = \frac{b}{a}$$

$$\tan(\varphi_{-n}) = -\frac{b}{a}$$

$$\varphi_{-n} = \arctan\left(-\frac{b}{a}\right) = -\arctan\left(\frac{b}{a}\right) = -\varphi_n$$

• 相位谱奇对称





4.2-1 周期信号的频谱

【例】画出周期信号 $f(t) = 1 + \cos(\omega_0 t - \frac{\pi}{2}) + \frac{1}{2} \cos(2\omega_0 t + \frac{\pi}{3})$ 的频谱

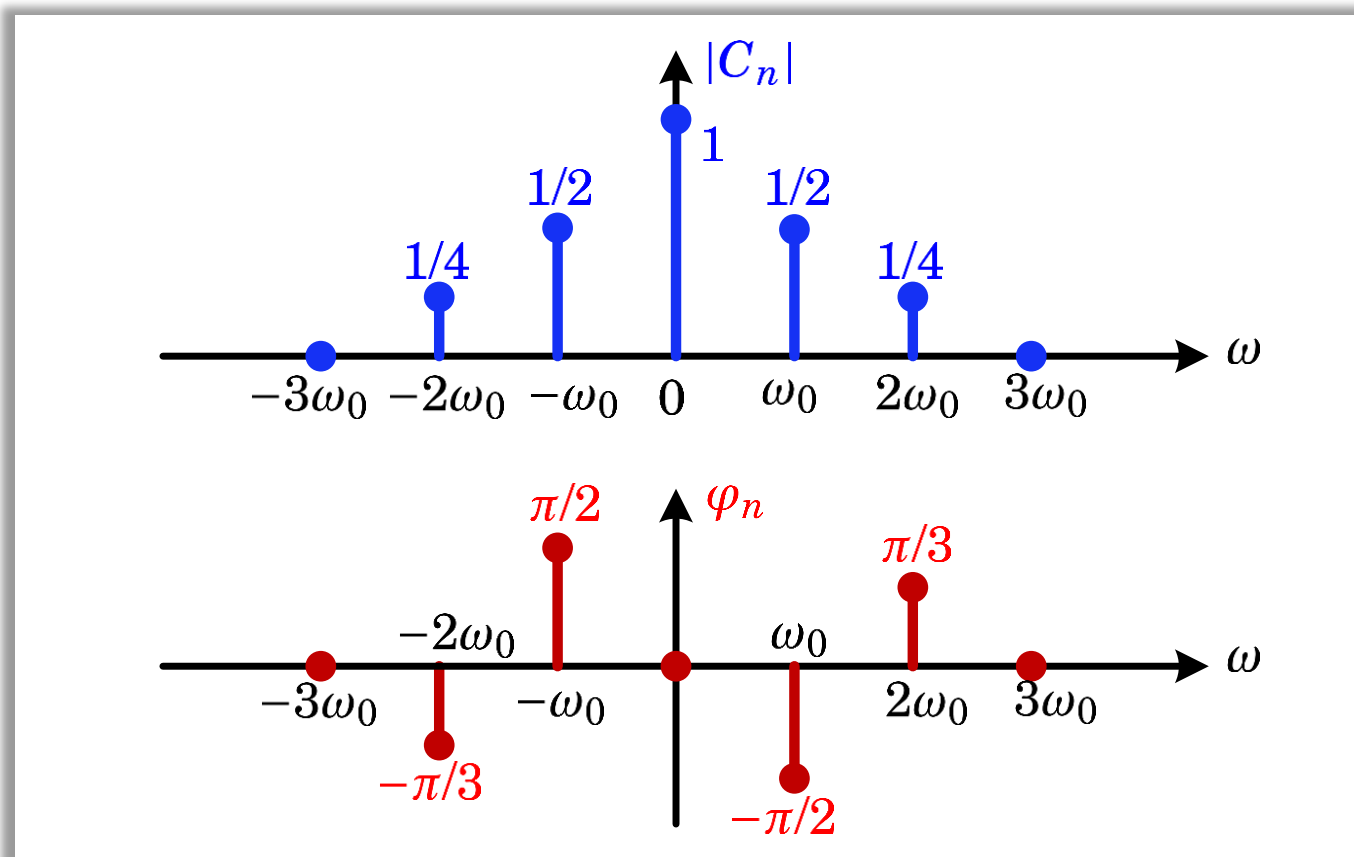
解：欧拉公式： $\cos(\omega_0 t) = \frac{1}{2} (e^{j\omega_0 t} + e^{-j\omega_0 t})$

$$\begin{aligned} f(t) &= 1 + \frac{1}{2} \left(e^{j(\omega_0 t - \pi/2)} + e^{-j(\omega_0 t - \pi/2)} \right) + \frac{1}{4} \left(e^{j(2\omega_0 t + \pi/3)} + e^{-j(2\omega_0 t + \pi/3)} \right) \\ &= 1 + \frac{1}{2} \left(e^{-j\pi/2} e^{j\omega_0 t} + e^{j\pi/2} e^{-j\omega_0 t} \right) + \frac{1}{4} \left(e^{j\pi/3} e^{j2\omega_0 t} + e^{-j\pi/3} e^{-j2\omega_0 t} \right) \end{aligned}$$

4.2-1 周期信号的频谱

【例】画出周期信号 $f(t) = 1 + \cos(\omega_0 t - \frac{\pi}{2}) + \frac{1}{2} \cos(2\omega_0 t + \frac{\pi}{3})$ 的频谱

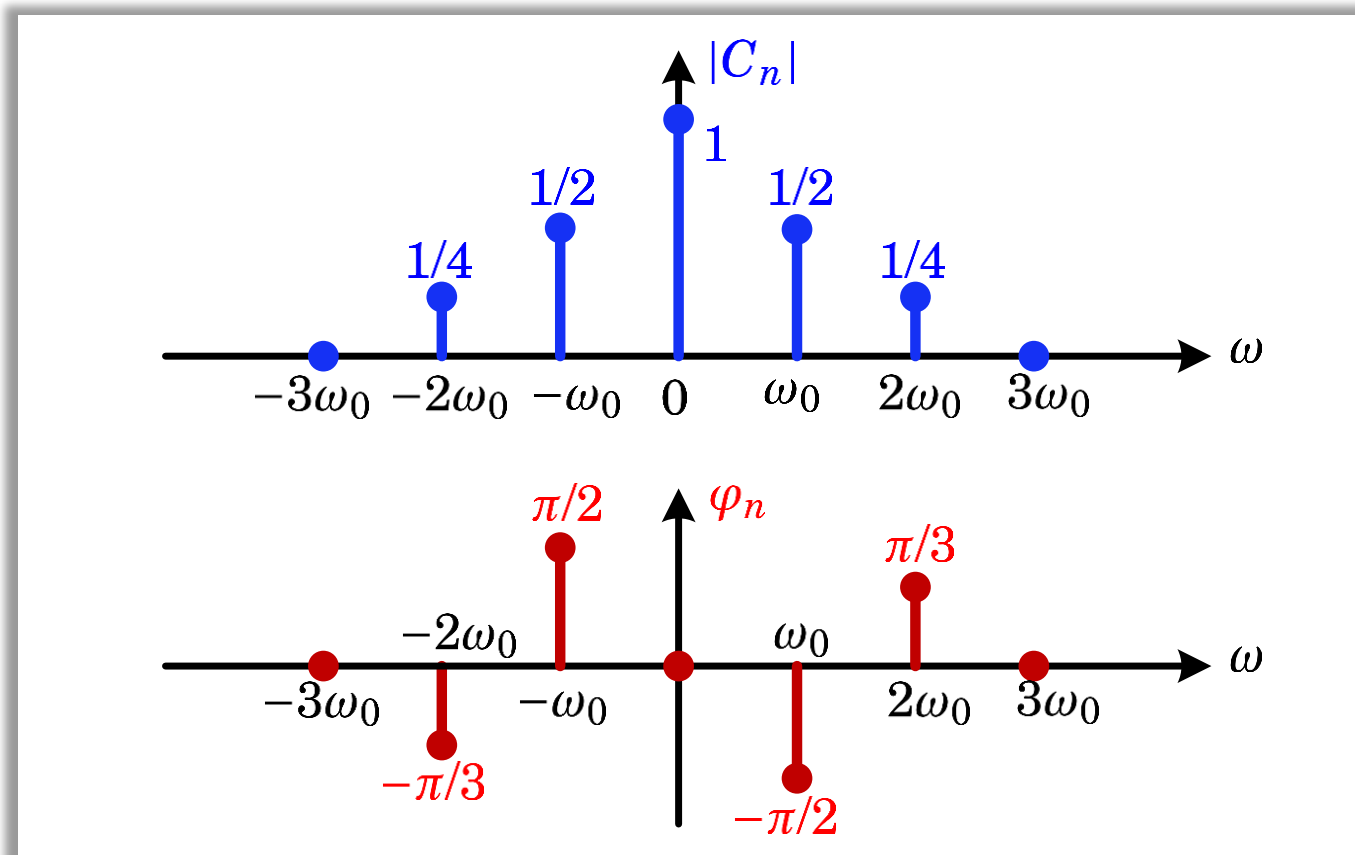
$$f(t) = 1 + \frac{1}{2} \left(e^{-j\pi/2} e^{j\omega_0 t} + e^{j\pi/2} e^{-j\omega_0 t} \right) + \frac{1}{4} \left(e^{j\pi/3} e^{j2\omega_0 t} + e^{-j\pi/3} e^{-j2\omega_0 t} \right)$$



4.2-1 周期信号的频谱

【例】画出周期信号 $f(t) = 1 + \cos(\omega_0 t - \frac{\pi}{2}) + \frac{1}{2} \cos(2\omega_0 t + \frac{\pi}{3})$ 的频谱

$$f(t) = 1 + \frac{1}{2} \left(e^{-j\pi/2} e^{j\omega_0 t} + e^{j\pi/2} e^{-j\omega_0 t} \right) + \frac{1}{4} \left(e^{j\pi/3} e^{j2\omega_0 t} + e^{-j\pi/3} e^{-j2\omega_0 t} \right)$$

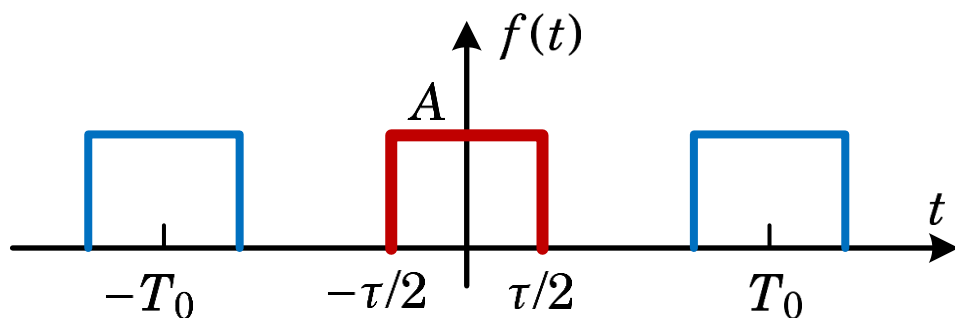


频谱重建信号

信号频域描述

4.2-1 周期信号的频谱

【例】画出图示周期信号的频谱



$$f_0(t) = \begin{cases} A, & |t| \leq \tau/2 \\ 0, & |t| > \tau/2 \end{cases}$$

$$C_n = \frac{\tau A}{T_0} \text{Sa}\left(\frac{n\omega_0\tau}{2}\right)$$

实数

$$C_n = |C_n| e^{j\varphi_n}$$

$$= |C_n| (\cos(\varphi_n) - j \sin(\varphi_n))$$

$$C_n > 0$$

$$\cos(\varphi_n) = 1$$

相位

$$\varphi_n = 0$$

$$C_n < 0$$

$$\cos(\varphi_n) = -1$$

$$\varphi_n = \pm\pi$$

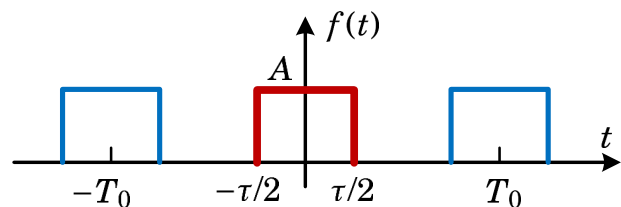
$$C_n = 0$$

$$\frac{n\omega_0\tau}{2} = n\pi$$

$$n\omega_0 = \frac{n2\pi}{\tau}$$

4.2-1 周期信号的频谱

【例】画出图示周期信号的频谱

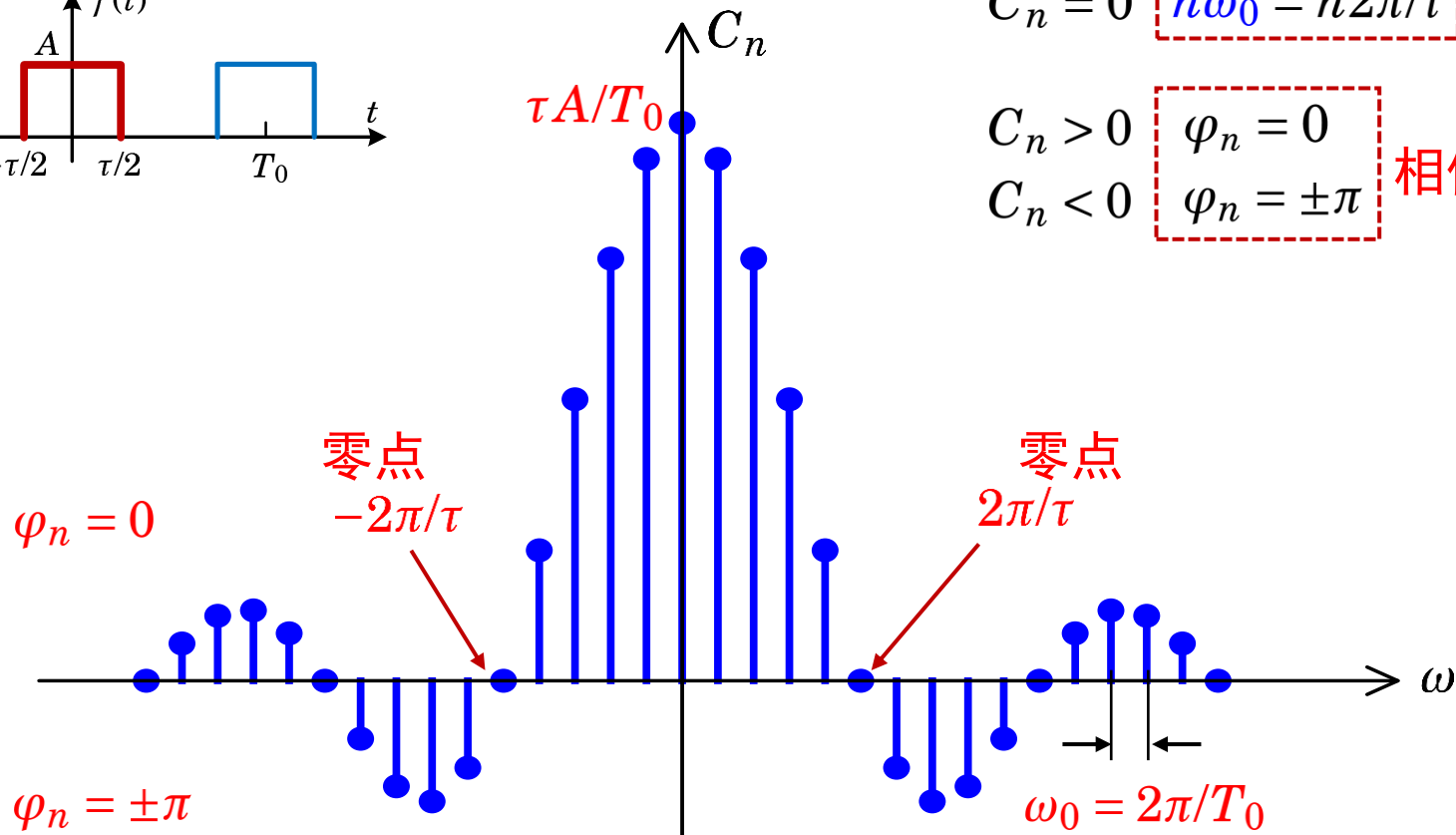


$$C_n = \frac{\tau A}{T_0} \text{Sa}\left(\frac{n\omega_0 \tau}{2}\right)$$

$$C_n = 0 \quad \boxed{n\omega_0 = n2\pi/\tau} \quad \text{零点}$$

$$C_n > 0 \quad \varphi_n = 0$$

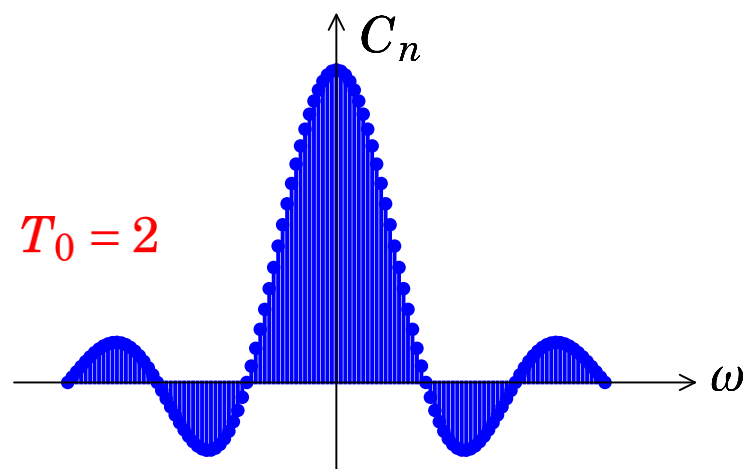
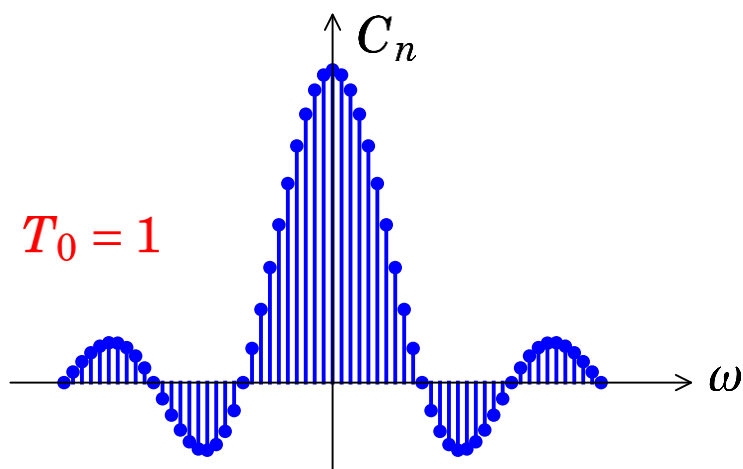
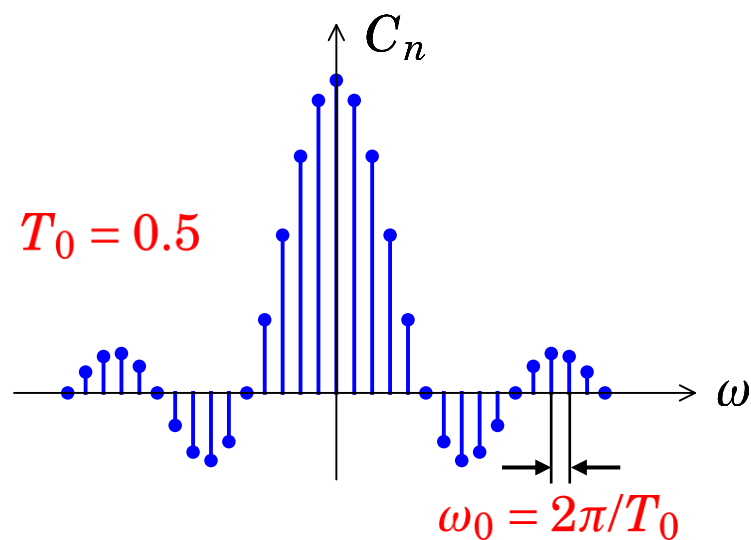
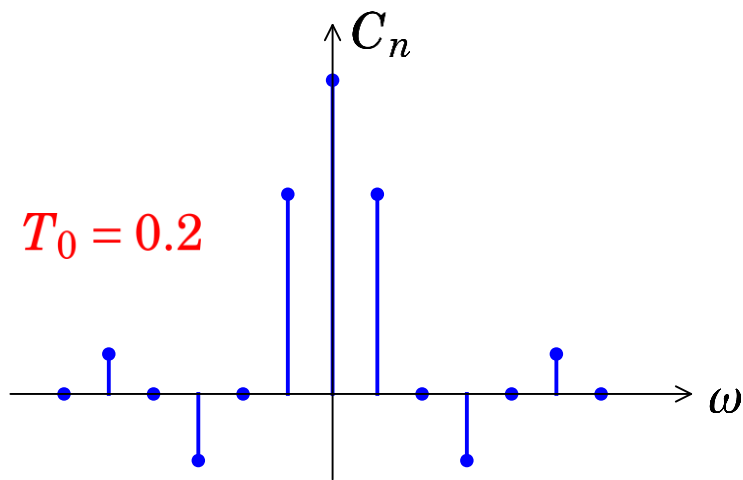
$$C_n < 0 \quad \varphi_n = \pm\pi \quad \text{相位}$$



C_n为实数时，可将幅度谱与相位谱画在同一图中



4.2-2 周期信号频谱的特性





4.2-2 周期信号频谱的特性

□ 离散频谱特性

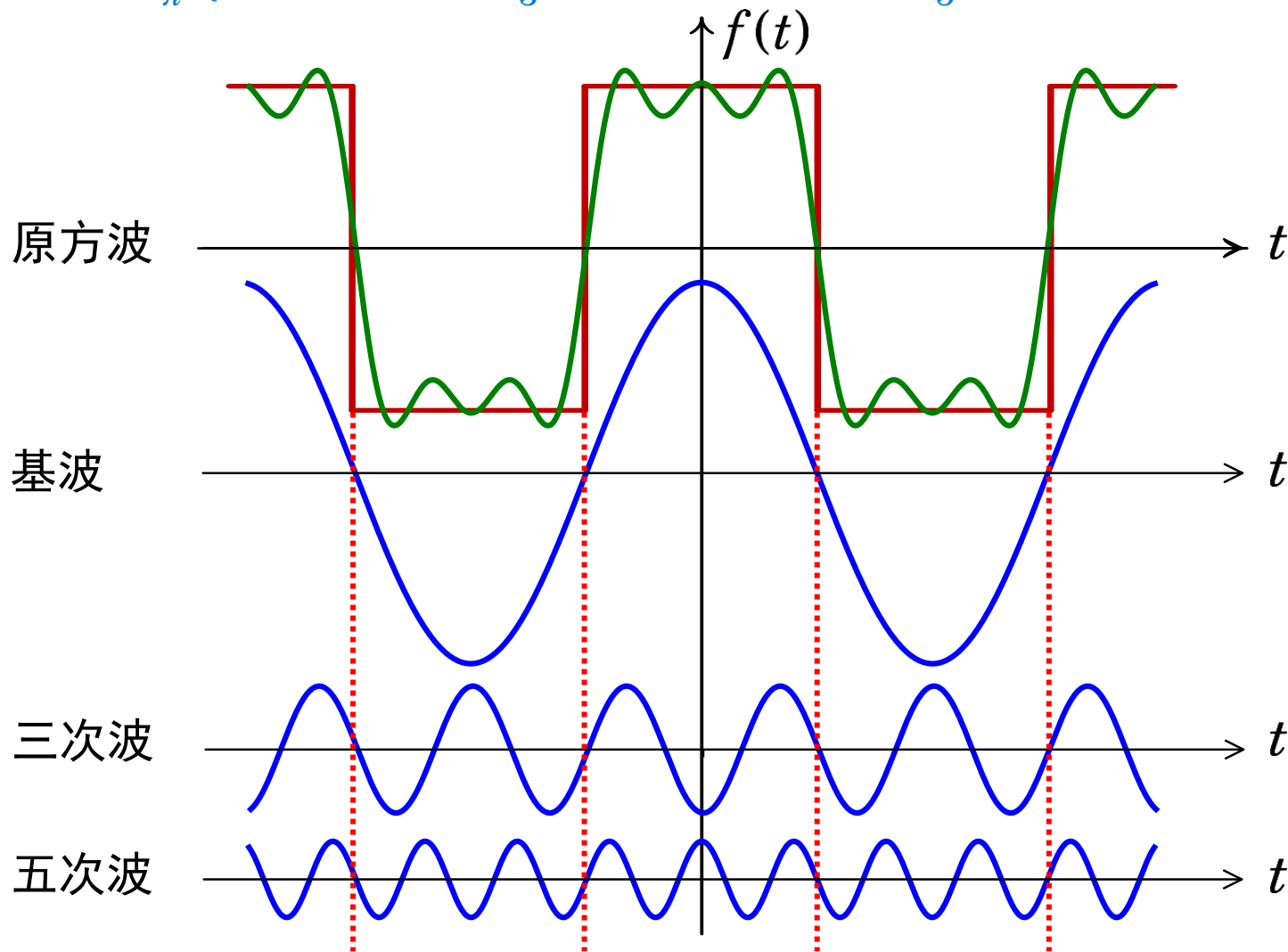
- 间隔为 ω_0 的离散谱线组成
- 周期越大，谱线越密 ($\omega_0 = 2\pi/T_0$)

□ 幅度衰减特性： $n\omega_0$ 增大， $|C_n|$ 衰减

- $f(t)$ 在间断点幅度有界， $|C_n|$ 的衰减速度 $1/n$
- $f(t)$ 连续，一阶导数间断点幅度有界， $|C_n|$ 的衰减速度 $1/n^2$
- $f(t)$ 前 $k-1$ 阶导数连续， k 阶导数间断点幅度有界， $|C_n|$ 的衰减速度 $1/n^k$

4.2-3 相位谱的作用

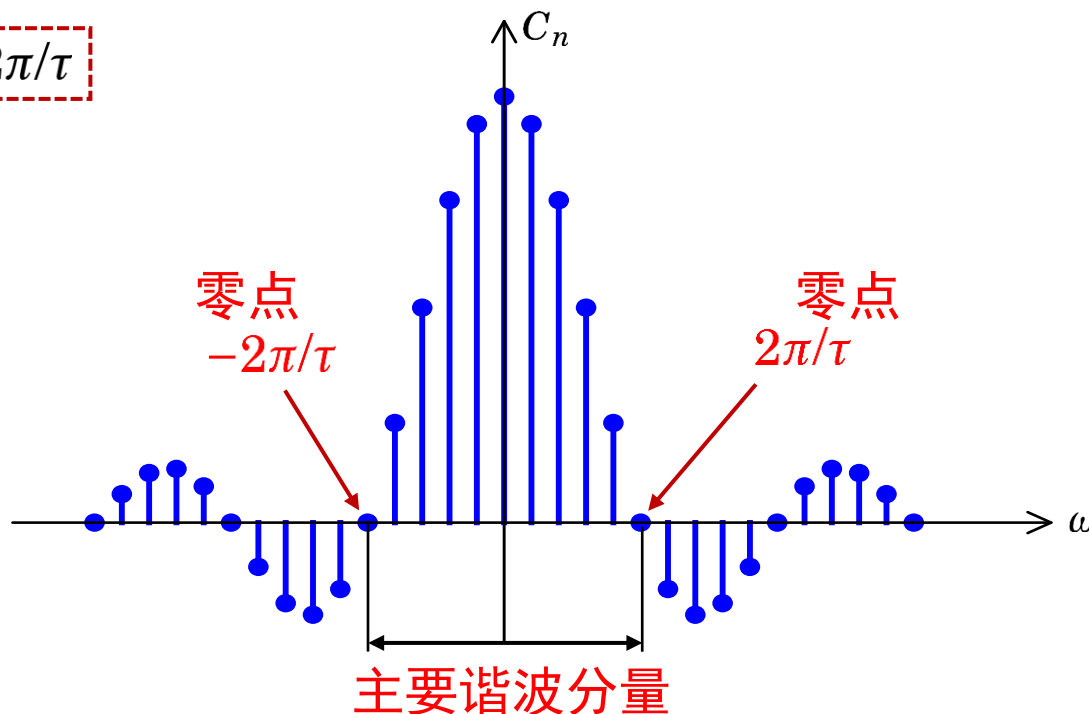
$$f(t) = \frac{4}{\pi} \left\{ \cos(0.5\pi t) + \frac{1}{3} \cos(1.5\pi t + \pi) + \frac{1}{5} \cos(2.5\pi t) + \dots \right\}$$



4.2-4 信号的有效带宽

$$C_n = 0 \quad \boxed{n\omega_0 = n2\pi/\tau}$$

零点



□ **有效频带宽度**：包含主要谐波分量的角频率范围 $0 \sim 2\pi/\tau$

$$\omega_B = 2\pi/\tau \text{ (rad/s)}$$

$$f_B = 1/\tau \text{ (Hz)}$$

- 信号时域持续时间越长，有效带宽越小
- 信号有效带宽与系统有效带宽必须**匹配**



4.2-5 周期信号的功率谱

- 周期信号是功率信号
- 周期信号 $f(t)$ 在 $1\ \Omega$ 电阻上消耗的平均功率 P

$$P = \frac{1}{T_0} \int_{\langle T_0 \rangle} |f(t)|^2 dt$$

$$= \sum_{n=-\infty}^{\infty} C_n \left[\frac{1}{T_0} \int_{\langle T_0 \rangle} f(t) e^{-jn\omega_0 t} dt \right]^*$$

$$= \frac{1}{T_0} \int_{\langle T_0 \rangle} f^*(t) f(t) dt$$

$$= \sum_{n=-\infty}^{\infty} C_n C_n^*$$

$$= \frac{1}{T_0} \int_{\langle T_0 \rangle} f^*(t) \sum_{n=-\infty}^{\infty} C_n e^{jn\omega_0 t} dt$$

$$= \sum_{n=-\infty}^{\infty} |C_n|^2$$

$$= \sum_{n=-\infty}^{\infty} C_n \frac{1}{T_0} \int_{\langle T_0 \rangle} f^*(t) e^{jn\omega_0 t} dt$$

Parseval功率守恒定理



4.2-5 周期信号的功率谱

□ **功率谱**定义： $|C_n|^2$ 随频率 $n\omega_0$ 的分布特性

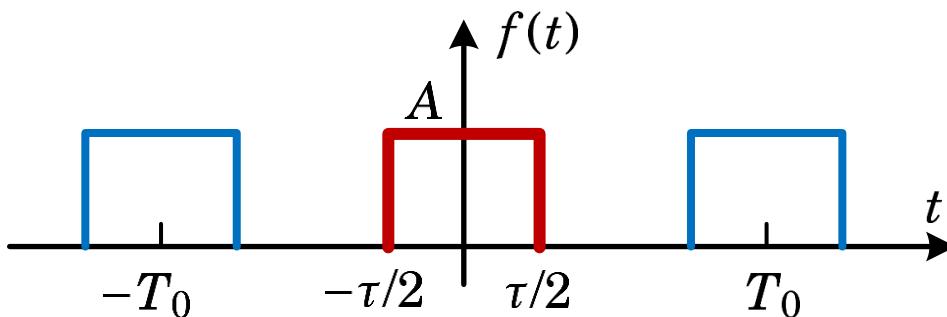
$$\begin{aligned} P &= \sum_{n=-\infty}^{\infty} |C_n|^2 = C_0^2 + \sum_{n=-\infty}^{-1} |C_{-n}^*|^2 + \sum_{n=1}^{\infty} |C_n|^2 \\ &= C_0^2 + 2 \sum_{n=1}^{\infty} |C_n|^2 \end{aligned}$$

任意周期信号的平均功率 = 信号所包含的**直流**、**基波**及**各次谐波**的平均功率之和

- 周期信号的功率谱也是**离散频谱**
- 由功率谱可知：
 - 各平均功率的分布情况
 - 周期信号**有效带宽内**谐波分量平均功率与**总平均功率**之比

4.2-5 周期信号的功率谱

【例】画出图示周期信号的功率谱，并计算有效带宽内谐波分量平均功率占比



$$A = 1$$

$$T_0 = 1/4$$

$$\tau = 1/20$$

解：

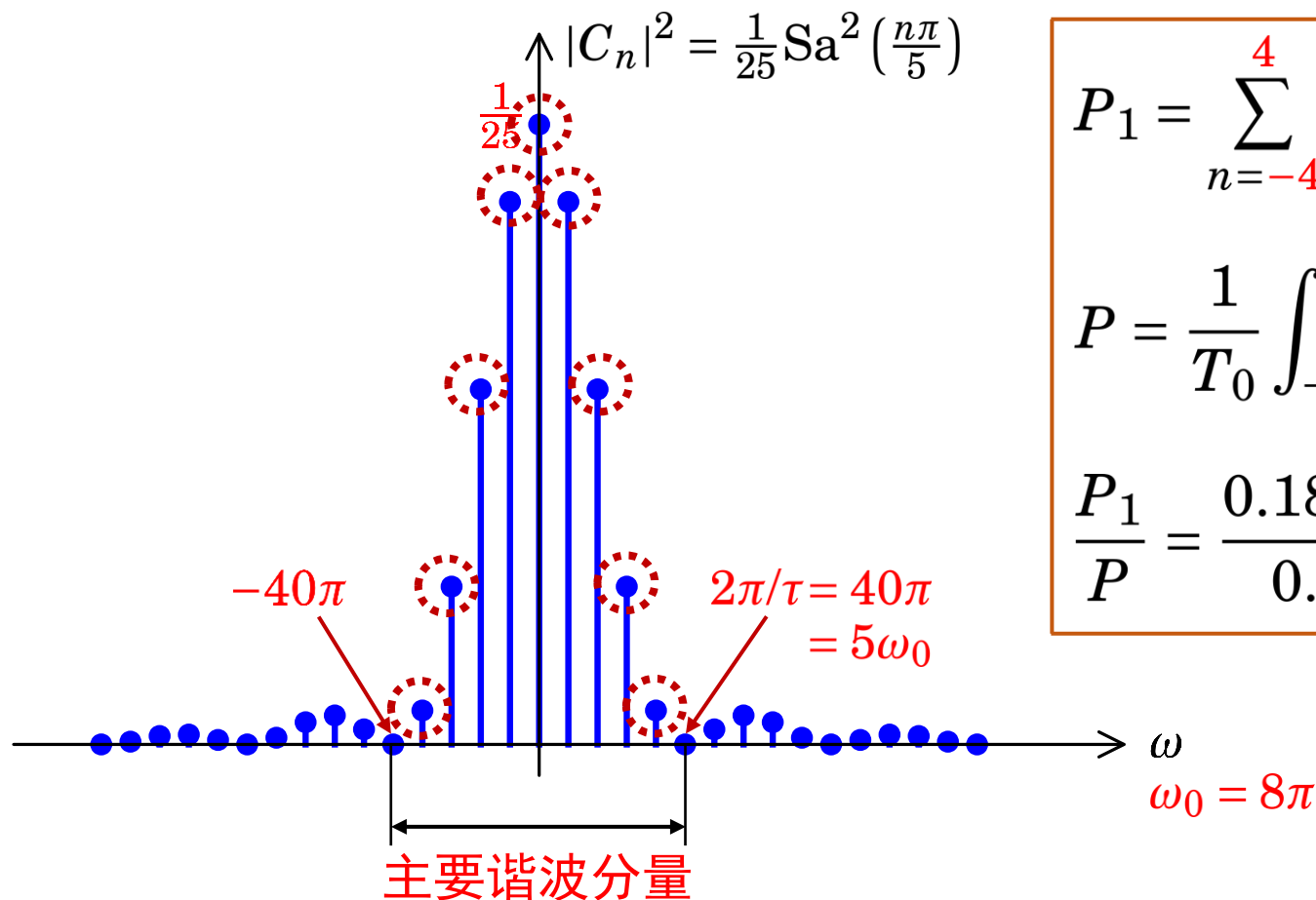
$$\omega_0 = 8\pi$$

$$C_n = \frac{\tau A}{T_0} \text{Sa}\left(\frac{n\omega_0 \tau}{2}\right) = \frac{1}{5} \text{Sa}\left(\frac{n\pi}{5}\right)$$

$$|C_n|^2 = \frac{1}{25} \text{Sa}^2\left(\frac{n\pi}{5}\right) \longrightarrow \text{功率谱}$$

4.2-5 周期信号的功率谱

【例】画出图示周期信号的功率谱，并计算有效带宽内谐波分量平均功率占比



$$P_1 = \sum_{n=-4}^4 |C_n|^2 = 0.1806$$

$$P = \frac{1}{T_0} \int_{-\frac{T_0}{2}}^{\frac{T_0}{2}} |f(t)|^2 dt = 0.2$$

$$\frac{P_1}{P} = \frac{0.1806}{0.2} = 90\%$$



§4.3 连续时间Fourier级数的基本性质

$$T_0 \quad \omega_0 = \frac{2\pi}{T_0}$$

$$f(t) \longleftrightarrow C_n$$

线性

时移

卷积

微分

4.3-1 Fourier级数基本性质

线性特性

$$f(t) \longleftrightarrow C_n$$

$$g(t) \longleftrightarrow D_n$$

周期均为 T_0



$$\alpha f(t) + \beta g(t) \longleftrightarrow \alpha C_n + \beta D_n$$

证明：

$$= \frac{1}{T_0} \int_{\langle T_0 \rangle} [\alpha f(t) + \beta g(t)] e^{-jn\omega_0 t} dt$$

$$= \alpha \underbrace{\frac{1}{T_0} \int_{\langle T_0 \rangle} f(t) e^{-jn\omega_0 t} dt}_{C_n} + \beta \underbrace{\frac{1}{T_0} \int_{\langle T_0 \rangle} g(t) e^{-jn\omega_0 t} dt}_{D_n}$$



4.3-1 Fourier级数基本性质

时移特性

$$\begin{array}{ccc}
 f(t) & \longleftrightarrow & C_n \quad \text{周期为 } T_0 \\
 \downarrow & & \\
 f(t - t_1) & \longleftrightarrow & e^{-jn\omega_0 t_1} C_n
 \end{array}$$

证明：

$$= \frac{1}{T_0} \int_{\langle T_0 \rangle} f(t - t_1) e^{-jn\omega_0 t} dt \quad \text{令 } t - t_1 = \tau$$

$$= \frac{1}{T_0} \int_{\langle T_0 \rangle} f(\tau) e^{-jn\omega_0(\tau + t_1)} d\tau$$

$$= e^{-jn\omega_0 t_1} \boxed{\int_{\langle T_0 \rangle} f(\tau) e^{-jn\omega_0 \tau} d\tau} C_n$$



4.3-1 Fourier级数基本性质

卷积特性

$$\begin{aligned} f(t) &\longleftrightarrow C_n \\ g(t) &\longleftrightarrow D_n \end{aligned} \quad \text{周期均为 } T_0$$



$$\int_{\langle T_0 \rangle} f(\tau)g(t-\tau)d\tau \longleftrightarrow T_0 C_n D_n$$

证明:

$$T_0 C_n D_n = T_0 \cdot \frac{1}{T_0} \int_{\langle T_0 \rangle} f(\tau) e^{-jn\omega_0 \tau} d\tau \cdot \frac{1}{T_0} \int_{\langle T_0 \rangle} g(t_1) e^{-jn\omega_0 t_1} dt_1$$

$$= \frac{1}{T_0} \int_{\langle T_0 \rangle} \int_{\langle T_0 \rangle} f(\tau) e^{-jn\omega_0 \tau} g(t_1) e^{-jn\omega_0 t_1} d\tau dt_1$$

令 $t_1 = t - \tau$

$$= \frac{1}{T_0} \int_{\langle T_0 \rangle} \int_{\langle T_0 \rangle} f(\tau) g(t - \tau) e^{-jn\omega_0 t} d\tau dt$$

4.3-1 Fourier级数基本性质

卷积特性

$$\begin{aligned}
 f(t) &\longleftrightarrow C_n \\
 g(t) &\longleftrightarrow D_n
 \end{aligned}
 \quad \text{周期均为 } T_0$$

$$\int_{\langle T_0 \rangle} f(\tau)g(t-\tau)d\tau \longleftrightarrow T_0 C_n D_n$$

证明:

$$T_0 C_n D_n = T_0 \cdot \frac{1}{T_0} \int_{\langle T_0 \rangle} f(\tau) e^{-jn\omega_0 \tau} d\tau \cdot \frac{1}{T_0} \int_{\langle T_0 \rangle} g(t_1) e^{-jn\omega_0 t_1} dt_1$$

$$= \frac{1}{T_0} \int_{\langle T_0 \rangle} \int_{\langle T_0 \rangle} f(\tau) e^{-jn\omega_0 \tau} g(t_1) e^{-jn\omega_0 t_1} d\tau dt_1$$

$$\text{令 } t_1 = t - \tau \quad = \frac{1}{T_0} \int_{\langle T_0 \rangle} \left[\int_{\langle T_0 \rangle} f(\tau) g(t - \tau) d\tau \right] e^{-jn\omega_0 t} dt$$



4.3-1 Fourier级数基本性质

微分特性

周期为 T_0

$$f(t) \longleftrightarrow C_n$$



$$f'(t) \longleftrightarrow jn\omega_0 C_n$$

$$f'(t) \longleftrightarrow D_n$$



$$f(t) \longleftrightarrow \frac{D_n}{jn\omega_0}, \quad n \neq 0$$

直流分量除外

证明: $= \frac{1}{T_0} \int_0^{T_0} f'(t) e^{-jn\omega_0 t} dt$

$$= \frac{1}{T_0} \left(\overset{0}{f(t)e^{-jn\omega_0 t} \Big|_0^{T_0 = \frac{2\pi}{\omega_0}}} + jn\omega_0 \int_0^{T_0} f(t) e^{-jn\omega_0 t} dt \right)$$

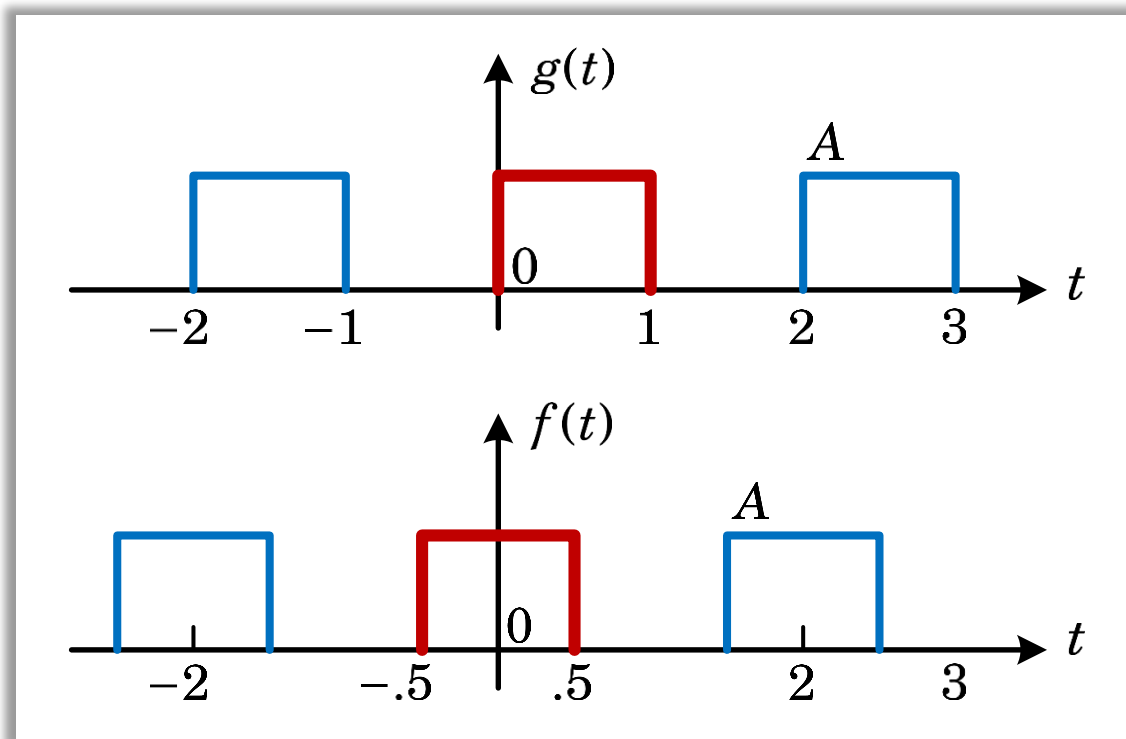
$$= jn\omega_0 \frac{1}{T_0} \int_0^{T_0} f(t) e^{-jn\omega_0 t} dt \quad C_n$$



4.3-1 Fourier级数基本性质

Fourier级数基本性质		
性质	周期信号	Fourier系数
线性特性	$af(t) + bg(t)$	$aC_n + bD_n$
共轭特性	$f^*(t)$	C_{-n}^*
翻转特性	$f(-t)$	C_{-n}
时移特性	$f(t - t_1)$	$e^{-jn\omega_0 t_1} C_n$
频移特性	$f(t)e^{jM\omega_0 t}$	C_{n-M}
卷积特性	$\int_{\langle T_0 \rangle} f(\tau)g(t - \tau)d\tau$	$T_0 C_n D_n$
微分特性	$f'(t)$	$jn\omega_0 C_n$
Parseval功率守恒	$\frac{1}{T_0} \int_{\langle T_0 \rangle} f(t) ^2 dt = \sum_{n=-\infty}^{\infty} C_n ^2$	

【例】利用时移特性求图示信号的 Fourier 级数表示



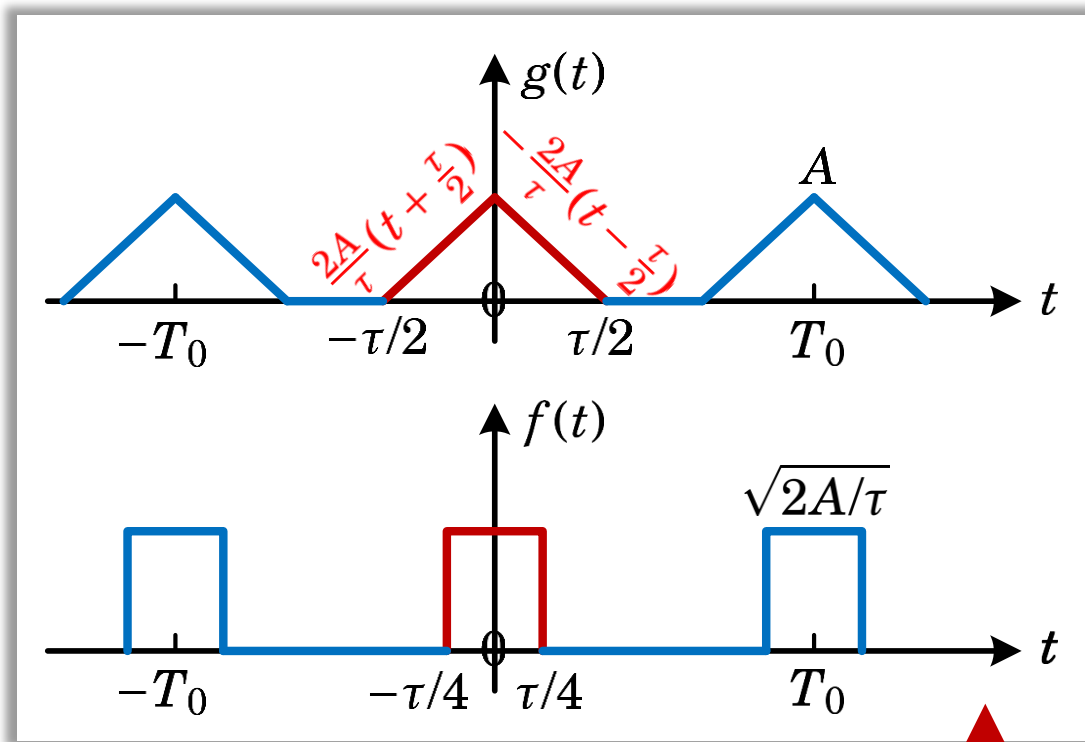
$$g(t) = f(t - 0.5)$$

$$T_0 = 2$$

$$f(t) = \sum_{n=-\infty}^{\infty} \underbrace{\left(\frac{A}{2} \right) \text{Sa} \left(\frac{n\pi}{2} \right)}_{C_n} e^{jn\pi t}$$

$$g(t) = \sum_{n=-\infty}^{\infty} e^{-jn\pi/2} C_n e^{jn\pi t}$$

【例】利用卷积特性求图示信号的 Fourier 级数表示



卷积的平移特性

$$u(t) * u(t) = r(t)$$

$$u(t + \frac{\tau}{4}) * u(t + \frac{\tau}{4}) = r(t + \frac{\tau}{2})$$

$$u(t - \frac{\tau}{4}) * u(t - \frac{\tau}{4}) = r(t - \frac{\tau}{2})$$

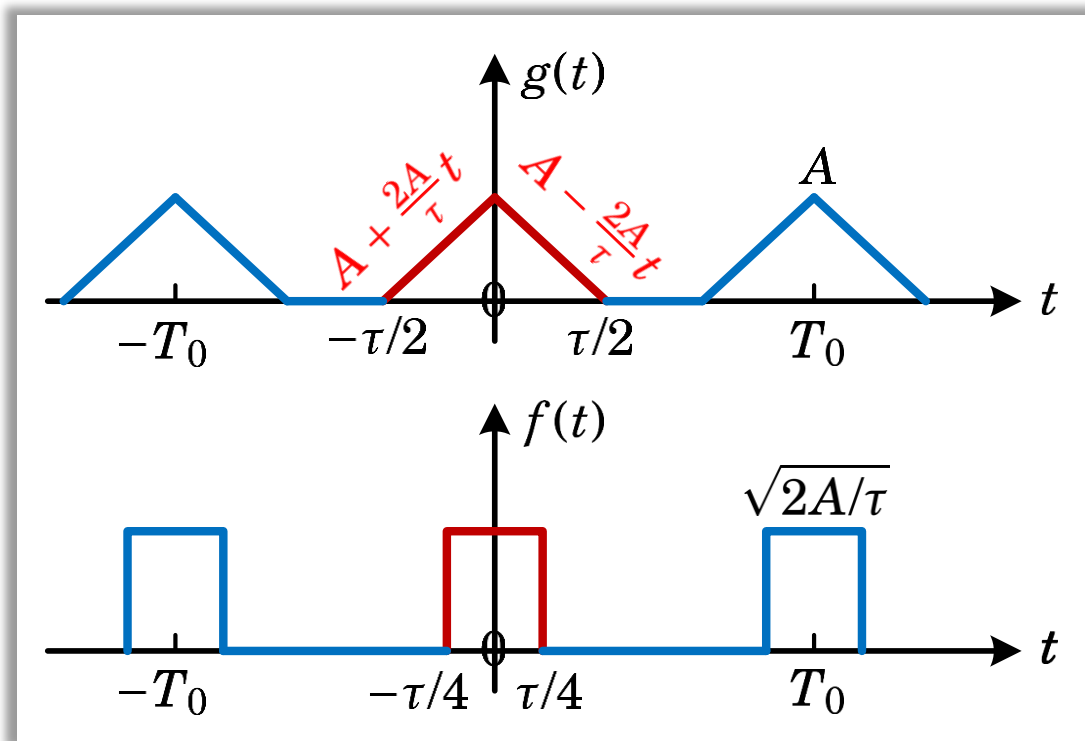
$$u(t + \frac{\tau}{4}) * u(t - \frac{\tau}{4}) = r(t)$$

$$g(t) = f(t) * f(t)$$

$$g(t) = \frac{2A}{\tau} \left[r(t + \frac{\tau}{2}) - 2r(t) + r(t - \frac{\tau}{2}) \right]$$

$$= \sqrt{\frac{2A}{\tau}} \left[u(t + \frac{\tau}{4}) - u(t - \frac{\tau}{4}) \right] * \sqrt{\frac{2A}{\tau}} \left[u(t + \frac{\tau}{4}) - u(t - \frac{\tau}{4}) \right]$$

【例】利用卷积特性求图示信号的 Fourier 级数表示



$$f(t) \longleftrightarrow C_n = \sqrt{\frac{2A}{\tau}} \frac{\tau}{2T_0} \text{Sa}\left(\frac{n\omega_0\tau}{4}\right)$$

$$g(t) = f(t) * f(t)$$

$$g(t) \longleftrightarrow T_0 C_n^2 = \frac{A\tau}{2T_0} \text{Sa}\left(\frac{n\omega_0\tau}{4}\right)$$



本章小结

- 连续时间信号的**Fourier**级数
- 连续时间**Fourier**级数的基本性质
- 连续周期信号的频谱分析
- 学习要求：
 1. 掌握**指数形式**和**三角形式Fourier**级数及其证明，理解二者关系
 2. 掌握**Fourier**级数基本性质及其应用
 3. 掌握周期信号**频谱的绘制**，理解频谱恢复时域信号
熟练信号的**频域分析方法**（有效带宽、功率谱）



附：第4次作业

◆ 第142-144页：

4-2

4-3: (2), (4)

4-6: (1)

4-8